

МИНИСТЕРСТВО ОБРАЗОВАНИЯ И НАУКИ  
РОССИЙСКОЙ ФЕДЕРАЦИИ

**Нижегородский государственный университет им. Н.И. Лобачевского**  
**Национальный исследовательский университет**

**Е.Л. Панкратов**

# **НЕКОТОРЫЕ МОДЕЛИ ФИЗИЧЕСКИХ ПРОЦЕССОВ С РАСПРЕДЕЛЕННЫМИ ПАРАМЕТРАМИ**

Учебно-методическое пособие  
по курсу «Физика»

Рекомендовано методической комиссией Института экономики и предпринимательства ННГУ для студентов, обучающихся по направлению 09.03.03 «Прикладная информатика»

Нижний Новгород  
2017

УДК 517.958 (075)  
ББК В311  
П-16

П-16 Панкратов Е.Л. НЕКОТОРЫЕ МОДЕЛИ ФИЗИЧЕСКИХ ПРОЦЕССОВ С РАСПРЕДЕЛЕННЫМИ ПАРАМЕТРАМИ. Учебно-методическое пособие. - Нижний Новгород: Нижегородский госуниверситет, 2017. - 46 с.

Рецензент: доцент кафедры информационных систем в финансово-кредитной сфере ННГУ к.ф.-м.н., доцент О.В. Подчищаева.

Учебно-методическое пособие «Некоторые модели физических процессов с распределенными параметрами» подготовлено для ознакомления студентов, обучающихся по направлению подготовки 09.03.03 «Прикладная информатика». Оно содержит ряд моделей физических процессов с распределенными параметрами и их математический анализ методами математической физики (классическими методами математической физики и их дальнейшим развитием), являясь продолжением изданных ранее учебного пособия «Физика» для студентов, обучающихся по направлению 09.03.03 «Прикладная информатика», и учебно-методического пособия «Дополнительные вопросы математической физики» для студентов, обучающихся по направлению 010800 «Радиофизика». Математические разделы данного пособия могут быть полезны для студентов, обучающихся по направлению подготовки 08.01.01 «Экономическая безопасность» в рамках курса «Математический анализ». Для закрепления теоретических знаний по тематике данного учебно-методического пособия в его конце приведены контрольные задания.

Ответственная за выпуск:  
председатель методической комиссии Института экономики и предпринимательства, **С.В. Едемская.**

УДК 517.958 (075)  
ББК В311

© Нижегородский государственный университет им. Н.И. Лобачевского, 2017

## Содержание

Введение	2
1. Основные определения	3
2. Теплопроводность	9
2.1. Теплопроводность в однородных материалах	9
2.2. Теплопроводность в однородных материалах с источниками тепла	13
2.3. Теплопроводность в неоднородных материалах	14
3. Диффузия	18
3.1. Нелинейная диффузия в материалах с переменным в пространстве и времени коэффициентом диффузии	19
3.2. Диффузия примеси из постоянного источника	21
3.3. Конвективная диффузия	23
4. Волновые процессы	30
5. Процессы электропередачи	32
5.1. Процессы в длинных линиях	32
5.2. Транспорт носителей заряда в твёрдых телах	34
Контрольные задания	43
Литература	45

## ***ВВЕДЕНИЕ***

В настоящее время имеется большое количество физических и технических приложений, для которых необходимо проводить моделирование массопереноса, теплопереноса, распространения электромагнитных и акустических волн. В рамках проведения такого моделирования необходимо решать как линейные, так и нелинейные уравнения дифференциальные, интегральные и интегродифференциальные уравнения математической физики с распределенными в пространстве и/или времени коэффициентами. Необходимость решения таких уравнений возникает при моделировании технологических процессов производства устройств твердотельной электроники (диффузия примеси и теплоперенос при нестационарном отжиге, диффузия примеси в многослойных структурах, изменение концентрации радиационных дефектов при постимплантационном отжиге и т.д.) [1-7]; теплоперенос в многослойных строительных конструкциях [8,9]; акустические волны (в многослойных строительных конструкциях) [10,11]; электромагнитные волны (в многослойных оптических структурах) [12-14] и т.д. Пособие ориентировано на развитие у обучающихся по программе бакалавриата 09.03.03 «Прикладная информатика» компетенций ОПК-3 и ПК-7 ФГОС ВО. В результате изучения раздела математики «Некоторые модели физических процессов с распределенными параметрами» курса «Физика» студенты должны знать наиболее распространенные модели физических процессов с распределенными параметрами и методы математической физики, позволяющие проводить их анализ.

## 1. Основные определения

В данном разделе рассмотрим несколько основных определений, необходимых для изложения материала данного пособия.

### Определение 1

Уравнение, связывающее независимые переменные  $x_1, x_2, \dots, x_m$ , искомую функцию независимых переменных  $u(x_1, x_2, \dots, x_m)$ , заданной в некоторой области  $G$ , и частные производные искомой функции до  $n$ -го порядка включительно называется дифференциальным уравнением в частных производных  $n$ -го порядка.

### Определение 2

Порядком уравнения называется порядок старшей из входящих в уравнение производной.

### Определение 3

Функция  $u(x_1, x_2, \dots, x_m)$ , обращающая уравнение в частных производных в тождество, называется решением или интегралом данного уравнения.

### Определение 4

Дифференциальное уравнение в частных производных называется линейным, если оно линейно относительно искомой функции  $u(x_1, x_2, \dots, x_m)$  и всех её производных. В противном случае уравнение называется нелинейным.

### Пример 1

Линейное дифференциальное уравнение в частных производных первого порядка в общем случае имеет следующий вид:

$$A_1(x_1, x_2, \dots, x_m) \frac{\partial u(x_1, x_2, \dots, x_m)}{\partial x_1} + A_2(x_1, x_2, \dots, x_m) \frac{\partial u(x_1, x_2, \dots, x_m)}{\partial x_2} + \dots + \quad (1) \\ + A_m(x_1, x_2, \dots, x_m) \frac{\partial u(x_1, x_2, \dots, x_m)}{\partial x_m} = B_0(x_1, x_2, \dots, x_m) + B_1(x_1, x_2, \dots, x_m) u(x_1, x_2, \dots, x_m).$$

### Пример 2

Линейное дифференциальное уравнение в частных производных второго порядка в общем случае имеет следующий вид

$$A_{11}(x_1, x_2, \dots, x_m) \frac{\partial^2 u(x_1, x_2, \dots, x_m)}{\partial x_1^2} + A_{12}(x_1, x_2, \dots, x_m) \frac{\partial^2 u(x_1, x_2, \dots, x_m)}{\partial x_1 \partial x_2} + \\ + A_{22}(x_1, x_2, \dots, x_m) \frac{\partial^2 u(x_1, x_2, \dots, x_m)}{\partial x_2^2} + \dots + A_{m-1m-1}(x_1, x_2, \dots, x_m) \frac{\partial^2 u(x_1, x_2, \dots, x_m)}{\partial x_{m-1}^2} + \\ + A_{m-1m}(x_1, x_2, \dots, x_m) \frac{\partial^2 u(x_1, x_2, \dots, x_m)}{\partial x_{m-1} \partial x_m} + A_{mm}(x_1, x_2, \dots, x_m) \frac{\partial^2 u(x_1, x_2, \dots, x_m)}{\partial x_m^2} = \quad (2) \\ = B_0(x_1, x_2, \dots, x_m) + B_1(x_1, x_2, \dots, x_m) u(x_1, x_2, \dots, x_m) + B_2(x_1, x_2, \dots, x_m) \times \\ \times \frac{\partial u(x_1, x_2, \dots, x_m)}{\partial x_1} + \dots + B_{m+1}(x_1, x_2, \dots, x_m) \frac{\partial u(x_1, x_2, \dots, x_m)}{\partial x_m}.$$

### Определение 5

Если коэффициенты  $B_i(x_1, x_2, \dots, x_m)$  равны нулю, уравнения (1), (2) и аналогичные им уравнения более высокого порядка называются однородными. В противном случае данные уравнения называются неоднородным.

Для описания физических процессов наиболее часто используются уравнения в частных второго порядка. Данные уравнения, также как и уравнения первого порядка, могут быть классифицированы как “линейные” и “нелинейные”, “однородные” и “неоднородные”. Существует также ещё одна классификация уравнений второго порядка. Наиболее просто она может быть проиллюстрирована с помощью линейного относительно старших производных уравнения для функций двух переменных  $u(x, t)$ . Такое уравнение может быть представлено в следующем общем виде

$$\begin{aligned} A_{xx}(x, t) \frac{\partial^2 u(x, t)}{\partial x^2} + 2A_{xt}(x, t) \frac{\partial^2 u(x, t)}{\partial x \partial t} + A_{tt}(x, t) \frac{\partial^2 u(x, t)}{\partial t^2} = \\ = B\left(x, t, u(x, t), \frac{\partial u(x, t)}{\partial x}, \frac{\partial u(x, t)}{\partial t}\right). \end{aligned} \quad (3)$$

### Определение 6

Уравнение (3) называется:

- (i) гиперболическим, если  $A_{xx}A_{tt} - A_{xt}^2 < 0$  (данное уравнение наиболее часто используется для описания волновых процессов);
- (ii) параболическим, если  $A_{xx}A_{tt} - A_{xt}^2 = 0$  (данное уравнение наиболее часто используется для описания теплопереноса и диффузии вещества);
- (iii) эллиптическим, если  $A_{xx}A_{tt} - A_{xt}^2 > 0$  (используется для описания стационарных процессов).

С помощью замены переменных данные уравнения можно преобразовать к следующим каноническим формам

канонические формы гиперболических уравнений

$$\frac{\partial^2 u(x, t)}{\partial x \partial t} = U\left(x, t, u(x, t), \frac{\partial u(x, t)}{\partial x}, \frac{\partial u(x, t)}{\partial t}\right); \quad (3a)$$

$$\frac{\partial^2 u(x, t)}{\partial x^2} - \frac{\partial^2 u(x, t)}{\partial t^2} = U\left(x, t, u(x, t), \frac{\partial u(x, t)}{\partial x}, \frac{\partial u(x, t)}{\partial t}\right); \quad (3б)$$

каноническая форма параболического уравнения

$$\frac{\partial^2 u(x, t)}{\partial x^2} = U\left(x, t, u(x, t), \frac{\partial u(x, t)}{\partial x}, \frac{\partial u(x, t)}{\partial t}\right); \quad (3в)$$

каноническая форма эллиптического уравнения

$$\frac{\partial^2 u(x, t)}{\partial x^2} + \frac{\partial^2 u(x, t)}{\partial t^2} = U\left(x, t, u(x, t), \frac{\partial u(x, t)}{\partial x}, \frac{\partial u(x, t)}{\partial t}\right). \quad (3г)$$

Для однозначного определения решения дифференциального уравнения его необходимо дополнить граничными и начальными условиями. Для введения основных условий рассмотрим функцию двух переменных  $u(x,t)$  в некоторой области  $(x,t) \in G: 0 \leq x \leq L, 0 \leq t \leq \Theta$ .

### Определение 7

Совокупность начального и граничного условий называется краевыми условиями. Начальное условие называется временным краевым условием, а граничное условие называется пространственным краевым условием.

#### Начальное условие

Начальное условие определяется заданием распределения искомой функции  $u(x,t)$  и ее производной до  $m-1$  порядка ( $m$  – порядок уравнения, решением которого является искомая функция  $u(x,t)$ ) внутри области  $G$  в начальный момент времени, т.е.

$$u(x,0) = \chi_0(x), \left. \frac{\partial u(x,t)}{\partial t} \right|_{t=0} = \chi_1(t), \dots, \left. \frac{\partial^{m-1} u(x,t)}{\partial t^{m-1}} \right|_{t=0} = \chi_{m-1}(t). \quad (4)$$

Существуют несколько видов граничных условий для искомой функции.

#### Граничное условие первого рода (задача Дирихле)

Граничное условие первого рода (задача Дирихле) состоит в задании на границах области  $G$  искомой функции  $u(x,t)$  в любой момент времени, т.е.

$$u(0,t) = \varphi_1(0,t), u(L,t) = \varphi_2(L,t). \quad (4a)$$

Такие граничные условия могут быть реализованы при искусственном поддержании постоянной концентрации легирующей примеси или температуры, а также особыми условиями массо- или теплообмена между границей области  $G$  и окружающим пространством.

#### Граничное условие второго рода (задача Неймана)

Граничное условие второго рода (задача Неймана) состоит в задании на границе области  $G$  плотности потока тепла, частиц, ... При этом поток пропорционален нормальной производной искомой функции  $u(x,t)$

$$-\lambda \left. \frac{\partial u(x,t)}{\partial n} \right|_{x=0} = \psi_1(t), -\lambda \left. \frac{\partial u(x,t)}{\partial n} \right|_{x=L} = \psi_2(t). \quad (4б)$$

В данном соотношении нормальная производная  $\frac{\partial u(x,t)}{\partial n}$  искомой функ-

ции  $u(x,t)$ , имеющая смысл концентрации вещества или температуры, после умножения на коэффициент  $\lambda$ , имеющий смысл соответственно коэффициентов диффузии или теплопроводности, является потоком соответственно вещества или тепла через поверхность  $G$ . Такие граничные условия используются при теплообмене во время нагревания тела в высокотемпературных печах, где передача тепла происходит при помощи излучения по закону Стефана-Больцмана, когда температура тела значительно меньше температуры излучающих поверх-

ностей. Второй пример реализации граничных условий второго рода - протекание частиц через границу области  $G$  с заданным потоком.

### Граничное условие третьего рода (задача Ньютона)

Обычно граничные условия третьего рода характеризуют конвективный теплообмен между поверхностью тела и окружающей средой в процессе нагревания и охлаждения тела. Данный закон достаточно сложен, но в упрощенном виде может быть принят в виде закона Ньютона. В рамках данного закона поток тепла через поверхность тела пропорционален разности температур данного тела и окружающей среды, т.е.

$$-\lambda \left. \frac{\partial u(x,t)}{\partial n} \right|_{x=0} = \alpha [u(0,t) - T_L(t)], \quad -\lambda \left. \frac{\partial u(x,t)}{\partial n} \right|_{x=L} = \alpha [u(L,t) - T_R(t)]. \quad (4c)$$

В данном соотношении параметр  $\alpha$  имеет смысл коэффициента теплообмена. Частным случаем третьей краевой задачи является закон Стефана-Больцмана. В рамках данного закона тепловой поток через границу от температуры пропорционален разности четвертых степеней температур тела и окружающей среды.

### Граничное условие четвертого рода

Граничное условие четвертого рода соответствует массо- и теплообмену поверхности тела с окружающей средой (например, с другим телом). При этом обычно считается, что концентрация вещества или температура (в зависимости от рассматриваемой с физической точки зрения ситуации), а также поток вещества или тепла сохраняются с точностью до известного множителя при переходе через границу раздела, т.е.

$$k(t) u_1(x,t) \Big|_{s_1} = u_2(x,t) \Big|_{s_2}, \quad -D_1 \left. \frac{\partial u_1(x,t)}{\partial n} \right|_{s_1} = -D_2 \left. \frac{\partial u_2(x,t)}{\partial n} \right|_{s_2}. \quad (4z)$$

Дифференциальное уравнение может быть преобразовано к интегральному. Рассмотрим два способа такого преобразования. В качестве примера рассмотрим обыкновенное дифференциальное уравнение второго порядка

$$a_2(x) \frac{d^2 y(x)}{d x^2} + a_1(x) \frac{d y(x)}{d x} + a_0(x) y(x) = b(x), \quad (5)$$

где  $y(x)$  - искомая функция,  $a_i(x)$  и  $b(x)$  - известные функции независимой переменной  $x$ . В рамках первого метода перехода от дифференциального уравнения к интегральному сделаем в уравнении (5) следующую замену переменных:

$z(x) = \frac{d^2 y(x)}{d x^2}$  [15]. Тогда производная  $\frac{d y(x)}{d x}$  является интегралом от новой

функции  $z(x)$ , т.е.  $\frac{d y(x)}{d x} = \int_0^x z(v) d v + C_1$ , где  $C_1$  - постоянная интегрирования.

Искомая функция  $y(x)$  является двукратным интегралом от функции  $z(x)$ , т.е.



$y(x) = \int_0^x \int_0^v z(u) du dv + C_1 x + C_2$ , где  $C_2$  – вторая постоянная интегрирования. С помощью интегрирования по частям [16] последнее соотношение можно свести к однократному интегралу:  $y(x) = \int_0^x (x-v)z(v) dv + C_1 x + C_2$ . После проведения такой замены переменных уравнение (5) преобразуется к следующему виду

$$a_2(x)z(x) + a_1(x) \left[ \int_0^x z(v) dv + C_1 \right] + a_0(x) \left[ \int_0^x (x-v)z(v) dv + C_1 x + C_2 \right] = b(x). \quad (5a)$$

Постоянные интегрирования  $C_1$  и  $C_2$  определяются с помощью наложенных на решение условий. Уравнение (5a) является интегральным уравнением относительно старшей производной искомой функции. После определения функции  $z(x)$  ее необходимо проинтегрировать необходимое число раз (в данном случае – два раза) для определения исходной искомой функции  $y(x)$ .

В рамках второго метода перехода от дифференциальной формы уравнения к интегральной проинтегрируем правую и левую части уравнения (5) по независимой переменной  $x$ . Тогда уравнение (5) преобразуется к следующей форме

$$\int_0^x a_2(v) \frac{d^2 y(v)}{dv^2} dv + \int_0^x a_1(v) \frac{d y(v)}{dv} dv + \int_0^x a_0(v) y(v) dv = \int_0^x b(v) dv + C_1.$$

Первые два слагаемых уравнения (5б) могут быть преобразованы к более простому виду использованием интегрирования по частям, т.е.

$$a_2(x) \frac{d y(x)}{d x} - \int_0^x \frac{d a_2(v)}{d v} \frac{d y(v)}{d v} dv + a_1(x) y(x) - \int_0^x y(v) \frac{d a_1(v)}{d v} dv + \\ + \int_0^x a_0(v) y(v) dv = \int_0^x b(v) dv + C_1.$$

Повторное применение интегрирования по частям во втором слагаемом позволяет преобразовать интегро-дифференциальное уравнение в интегральное

$$a_2(x) \frac{d y(x)}{d x} - \frac{d a_2(x)}{d x} y(x) + \int_0^x \frac{d^2 a_2(v)}{d v^2} y(v) dv + a_1(x) y(x) - \int_0^x y(v) \frac{d a_1(v)}{d v} dv + \\ + \int_0^x a_0(v) y(v) dv = \int_0^x b(v) dv + C_1.$$

Или, после приведения подобных членов

$$a_2(x) \frac{d y(x)}{d x} + \left[ a_1(x) - \frac{d a_2(x)}{d x} \right] y(x) + \int_0^x \left[ \frac{d^2 a_2(v)}{d v^2} - \frac{d a_1(v)}{d v} + a_0(v) \right] y(v) dv = \\ = \int_0^x b(v) dv + C_1.$$

Повторное интегрирование последнего соотношения является предпоследним шагом в преобразовании его из интегро-дифференциальной формы к интегральной, т.е.

$$\int_0^x a_2(v) \frac{d y(v)}{d v} d v + \int_0^x \left[ a_1(v) - \frac{d a_2(v)}{d v} \right] y(v) d v + \int_0^x \left[ \frac{d^2 a_2(v)}{d v^2} - \frac{d a_1(v)}{d v} + a_0(v) \right] \times \\ \times (x - v) y(v) d v = \int_0^x (x - v) b(v) d v + C_1 x + C_2.$$

Применение интегрирования по частям к первому слагаемому и приведение подобных членов в последнем уравнении позволяет получить второй интегральный аналог уравнения (5)

$$a_2(x) y(x) + \int_0^x \left\{ a_1(v) - 2 \frac{d a_2(v)}{d v} + (x - v) \left[ \frac{d^2 a_2(v)}{d v^2} - \frac{d a_1(v)}{d v} + a_0(v) \right] \right\} y(v) d v = \\ = \int_0^x (x - v) b(v) d v + C_1 x + C_2. \quad (5б)$$

Введение обозначений

$$\tilde{a}_1(v) = a_1(v) - 2 \frac{d a_2(v)}{d v} + (x - v) \left[ \frac{d^2 a_2(v)}{d v^2} - \frac{d a_1(v)}{d v} + a_0(v) \right], \\ b(x) = \int_0^x (x - v) b(v) d v + C_1 x + C_2$$

позволяет преобразовать второй интегральный аналог уравнения (5) к окончательному виду

$$a_2(x) y(x) + \int_0^x \tilde{a}_1(v) y(v) d v = \tilde{b}(x). \quad (5в)$$

Интегральные уравнения также имеют свою классификацию. Существуют две основных группы интегральных уравнений: уравнения Вальтера и уравнения Фредгольма. В рамках каждой группы выделяются два рода уравнений: первый и второй. Общий вид перечисленных уравнений приведен ниже. Уравнения Вальтера соответственно первого и второго рода выглядят следующим образом:

$$\lambda \int_a^x K(x, t) y(t) d t = f(x), \quad (6а)$$

$$y(x) = f(x) + \lambda \int_a^x K(x, t) y(t) d t, \quad (6б)$$

где  $y(x)$  – искомая функция,  $f(x, t)$  и  $K(x, t)$  – известные функции, вторая из которых называется ядром интегрального уравнения.

Уравнения Фредгольма соответственно первого и второго рода имеют вид

$$\int_a^b K(x, t) y(t) d t = f(x), \quad (7а)$$

$$y(x) - \int_a^b K(x,t)y(t)dt = f(x). \quad (7б)$$

Если  $f(x) = 0$ , уравнения (6) и (7) называются однородными. В противном случае - неоднородными.

## 2. Теплопроводность

Теория теплопроводности в настоящее время находит широкое применение в решении различных технических проблем. Расчет тепловых аппаратов, работающих в нестационарном тепловом режиме, расчет на теплоустойчивость ограждающих конструкций в условиях переменных тепловых воздействий (теплоизоляция зданий, печей, трубопроводов), нагревание машин, электрических кабелей, температурные напряжения в мостах, технология электронных приборов и многие другие вопросы связаны с решением задач нестационарной теплопроводности. К тому же кругу вопросов относятся исследования кинетики процессов сорбции, десорбции, сушке, химических реакций, так как задачи нестационарной диффузии аналогичны задачам теплопроводности. Кроме того, изучение теплофизических свойств различных материалов и, в частности современные методы определения их термических коэффициентов основаны на закономерностях нестационарного температурного поля. Несмотря на актуальность анализа процессов теплопроводности, количество соответствующих специальных изданий ограничено.

### 2.1. Теплопроводность в однородных материалах

На первом этапе рассмотрим простейшую модель теплопроводности, т.е. теплопроводность в однородных материалах и без учёта источников тепла и зависимости параметров от температуры. В более общем случае уравнение теплопроводности может записано в следующей форме

$$c \frac{\partial T(x,t)}{\partial t} = \frac{\partial}{\partial x} \left[ \lambda \frac{\partial T(x,t)}{\partial x} \right] + g(x,t). \quad (8)$$

Решением данного уравнения является температура  $T(x,t)$ . Функция  $g(x,t)$  описывает источники тепла. Коэффициент  $c$  имеет смысл теплоёмкости материала, а коэффициент  $\lambda$  имеет смысл коэффициента теплопроводности. Отношение коэффициента теплопроводности и теплоёмкости  $\alpha = \lambda/c$  называется коэффициентом температуропроводности. Если коэффициенты  $\lambda$  и  $c$  постоянны (а именно такой случай мы и будем пока рассматривать), тогда уравнение (8) примет следующий вид

$$\frac{\partial u(x,t)}{\partial t} = \alpha \frac{\partial^2 u(x,t)}{\partial x^2}. \quad (8a)$$

Дополним уравнение (8a) следующими граничными и начальным условиями

$$-\lambda \frac{\partial T(x,t)}{\partial x} \Big|_{x=0} = 0, \quad -\lambda \frac{\partial T(x,t)}{\partial x} \Big|_{x=L} = 0, \quad T(x,0) = \chi(x). \quad (9)$$

Следует заметить, что уравнение (1) называется вторым законом Фурье, а уравнение  $q(x,t) = -\lambda \cdot \partial T(x,t) / \partial x$  - первым законом Фурье, где  $q(x,t)$  - тепловой поток.

Будем искать решение уравнения (8a) в виде произведения двух множителей, один из которых зависит только от пространственной переменной  $x$ , другой - только от времени  $t$ , т.е.  $T(x,t) = A(x)B(t)$  [15,16]. Подставим предлагаемую форму решения в уравнение (1a)

$$A(x) \frac{\partial B(t)}{\partial t} = \alpha B(t) \frac{\partial^2 A(x)}{\partial x^2}.$$

Далее перенесём в одну часть уравнения все множители, зависящие от одной переменной, в другую часть уравнения - все множители, зависящие от другой переменной, т.е.

$$\frac{1}{B(t)} \frac{dB(t)}{dt} = \frac{\alpha}{A(x)} \frac{d^2 A(x)}{dx^2}.$$

Последнее равенство может выполняться только в том случае, когда его правая и левая части равны неопределённой пока постоянной величине

$$\frac{1}{B(t)} \frac{dB(t)}{dt} = \frac{\alpha}{A(x)} \frac{d^2 A(x)}{dx^2} = \gamma.$$

Тогда получаем систему уравнений для функций  $A(x)$  и  $B(t)$

$$\frac{1}{B(t)} \frac{dB(t)}{dt} = \gamma, \quad \frac{\alpha}{A(x)} \frac{d^2 A(x)}{dx^2} = \gamma. \quad (10)$$

Решим первое уравнение системы (9) методом разделения переменных [15,16]. Для использования данного метода умножим левую и правую часть данного уравнения на  $dt$ , что приводит данное соотношение к следующему виду

$$\frac{dB(t)}{B(t)} = \gamma dt.$$

Интегрирование левой и правой части данного уравнения с использованием таблицы интегралов (см., например, [17]) позволяет получить следующее решение первого уравнения системы (10)

$$\ln[B(t)] = \gamma t + C_1.$$

Потенцирование данного соотношения дает функцию  $B(t)$  в явном виде

$$B(t) = C_1 e^{\gamma t}.$$

Постоянная  $\gamma$  из условия физической реализуемости решения должна быть выбрана отрицательной, т.е.  $\gamma = -|\gamma|$ . В противном случае решение уравнения (8a) будет неограниченно возрастать во времени. Второе уравнение системы (9) может быть преобразовано к виду

$$\frac{d^2 A(x)}{d x^2} = \frac{\gamma}{D} A(x),$$

что эквивалентно следующему уравнению

$$\frac{d^2 A(x)}{d x^2} + \frac{|\gamma|}{D} A(x) = 0.$$

Далее в рамках метода Эйлера подстановка  $A(x) = C e^{\xi x}$  позволяет получить следующее уравнение для параметра  $\xi$

$$\xi^2 + |\gamma|/D = 0.$$

Тогда

$$\xi = \pm i x \sqrt{|\gamma|/D},$$

где  $i = \sqrt{-1}$ .

С учётом последних соотношений функция  $A(x)$  может быть представлена в двух эквивалентных формах

$$A(x) = C_2 \exp\left(i x \sqrt{\frac{|\gamma|}{D}}\right) + C_3 \exp\left(-i x \sqrt{\frac{|\gamma|}{D}}\right) \text{ и } A(x) = C_4 \cos\left(x \sqrt{\frac{|\gamma|}{D}}\right) + C_5 \sin\left(x \sqrt{\frac{|\gamma|}{D}}\right).$$

Вторая форма является более предпочтительной, т.к. с её помощью определение постоянных интегрирования является более удобной. Решение уравнения (1a) в окончательной форме имеет следующий вид

$$T(x, t) = \left[ C_6 \cos\left(x \sqrt{\frac{|\gamma|}{D}}\right) + C_7 \sin\left(x \sqrt{\frac{|\gamma|}{D}}\right) \right] e^{-|\gamma| t}, \quad (11)$$

где  $C_6 = C_1 C_4$ ,  $C_7 = C_1 C_5$ . Далее определим неизвестные пока постоянные величины  $C_6$ ,  $C_7$  и  $\gamma$ . Для этого найдём частную производную по переменной  $x$  от функции (10)

$$\frac{\partial T(x, t)}{\partial x} = \left[ -C_6 \sqrt{\frac{|\gamma|}{D}} \sin\left(x \sqrt{\frac{|\gamma|}{D}}\right) + C_7 \sqrt{\frac{|\gamma|}{D}} \cos\left(x \sqrt{\frac{|\gamma|}{D}}\right) \right] e^{-|\gamma| t}.$$

Подстановка граничных значений переменной  $x$  приводит к следующим результатам

$$\text{при } x=0: \quad \left. \frac{\partial T(x, t)}{\partial x} \right|_{x=0} = C_7 \sqrt{\frac{|\gamma|}{D}} \cos\left(x \sqrt{\frac{|\gamma|}{D}}\right) e^{-|\gamma| t}$$

$$\text{при } x=L: \quad \left. \frac{\partial T(x, t)}{\partial x} \right|_{x=L} = \left[ -C_6 \sqrt{\frac{|\gamma|}{D}} \sin\left(L \sqrt{\frac{|\gamma|}{D}}\right) + C_7 \sqrt{\frac{|\gamma|}{D}} \cos\left(L \sqrt{\frac{|\gamma|}{D}}\right) \right] e^{-|\gamma| t}.$$

Равенство нулю теплового потока  $q(x,t)$  на границах рассматриваемой области позволяет получить из первого уравнения данной системы, что оно может удовлетворяться только при равенстве нулю постоянной интегрирования  $C_7$ . Остальные множители производной или не равны нулю, или равны нулю только в некоторых точках. Равенство нулю постоянной  $C_7$  приводит второе уравнение последней системы к следующему виду

$$\text{при } x=L: \quad \left. \frac{\partial T(x,t)}{\partial x} \right|_{x=L} = -C_6 \sqrt{\frac{|\gamma|}{D}} \sin \left( L \sqrt{\frac{|\gamma|}{D}} \right) e^{-|\gamma|t}.$$

Данное соотношение может быть равно нулю или при  $\sin \left( L \sqrt{|\gamma|/\alpha} \right) = 0$ , или при  $C_7 = 0$ . Однако второе равенство приводит к нулевому решению уравнения (8a), что интереса не представляет. Решение уравнения  $\sin \left( L \sqrt{|\gamma|/\alpha} \right) = 0$  позволяет получить:  $|\gamma| = \alpha \pi^2 n^2 / L^2$ ,  $n = 0, 1, 2, \dots$ . Таким образом, уравнение (1a) имеет бесконечное число решений. Числа  $\pi n / L$  называются собственными числами. Соответствующие им ненулевые (нетривиальные) решения называются собственными функциями. Задача на нахождение собственных чисел и собственных решений называется задачей Штурма-Лиувилля. Формально составим ряд из этих решений

$$T(x,t) = \sum_{n=0}^{\infty} C_{n6} \cos \left( \frac{\pi n x}{L} \right) e^{-\frac{\pi^2 n^2}{L^2} \alpha t}. \quad (12)$$

Для определения постоянных интегрирования  $C_{n6}$  воспользуемся начальным распределением. Представим начальное распределение  $\chi(x)$  в виде ряда Фурье по собственным функциям рассматриваемой краевой задачи  $f_n(x) = \cos(\pi n x / L)$ , т.е.

$$\chi(x) = \frac{1}{L} \int_0^L \chi(x) dx + \frac{2}{L} \sum_{n=1}^{\infty} \cos \left( \frac{\pi n x}{L} \right) \int_0^L \chi(x) \cos \left( \frac{\pi n x}{L} \right) dx. \quad (13)$$

Далее в соотношении (2) выберем нулевое значение переменной  $t$  и приравняем полученный ряд ряду (13)

$$\sum_{n=0}^{\infty} C_{n6} \cos \left( \frac{\pi n x}{L} \right) = \frac{1}{L} \int_0^L \chi(x) dx + \frac{2}{L} \sum_{n=1}^{\infty} \cos \left( \frac{\pi n x}{L} \right) \int_0^L \chi(x) \cos \left( \frac{\pi n x}{L} \right) dx.$$

Путём сравнения членов ряда при одинаковых значениях  $n$  получаем

$$C_{06} = \frac{1}{L} \int_0^L \chi(x) dx; \quad C_{n6} = \frac{2}{L} \int_0^L \chi(x) \cos \left( \frac{\pi n x}{L} \right) dx, \quad n \geq 1.$$

В окончательной форме решение уравнения (8a) имеет следующий вид

$$T(x,t) = \frac{1}{L} \int_0^L \chi(x) dx + \frac{2}{L} \sum_{n=0}^{\infty} \cos \left( \frac{\pi n x}{L} \right) e^{-\frac{\pi^2 n^2}{L^2} \alpha t} \int_0^L \chi(x) \cos \left( \frac{\pi n x}{L} \right) dx.$$

Описанный метод называется метод разделения переменных Фурье.

## 2.2. Теплопроводность в однородных материалах с источниками тепла

Рассмотрим линейное уравнение теплопроводности с источником тепла

$$\frac{\partial T(x,t)}{\partial t} = D \frac{\partial^2 T(x,t)}{\partial x^2} + g(x,t). \quad (8б)$$

Дополним уравнение (8б) следующими граничными и начальным условиями

$$-\lambda \frac{\partial T(x,t)}{\partial x} \Big|_{x=0} = 0, \quad -\lambda \frac{\partial T(x,t)}{\partial x} \Big|_{x=L} = 0, \quad u(x,0) = \chi(x).$$

Будем искать решение уравнения (8б) в виде ряда, по собственным функциям однородной краевой задачи  $f_n(x) = \cos(\pi n x/L)$  [18], т.е.

$$T(x,t) = \sum_{n=0}^{\infty} h_n(t) \cos\left(\frac{\pi n x}{L}\right), \quad (14)$$

где  $h_n(t)$  - неизвестная пока функция переменной  $t$ . Представим функцию  $g(x,t)$ , а также начальное распределение  $\chi(x)$  в виде рядов Фурье по собственным функциям однородной краевой задачи

$$g(x,t) = \frac{1}{L} \int_0^L g(x,t) dx + \frac{2}{L} \sum_{n=1}^{\infty} \cos\left(\frac{\pi n x}{L}\right) \int_0^L g(x,t) \cos\left(\frac{\pi n x}{L}\right) dx, \quad (15)$$

$$\chi(x) = \frac{1}{L} \int_0^L \chi(x) dx + \frac{2}{L} \sum_{n=1}^{\infty} \cos\left(\frac{\pi n x}{L}\right) \int_0^L \chi(x) \cos\left(\frac{\pi n x}{L}\right) dx. \quad (16)$$

Подстановка ряда (15) в уравнение (8б) позволяет получить уравнение для неизвестной функции  $h_n(t)$

$$\begin{aligned} \sum_{n=0}^{\infty} \frac{\partial h_n(t)}{\partial t} \cos\left(\frac{\pi n x}{L}\right) &= -\alpha \frac{\pi^2}{L^2} \sum_{n=0}^{\infty} n^2 h_n(t) \cos\left(\frac{\pi n x}{L}\right) + \\ &+ \frac{1}{L} \int_0^L g(x,t) dx + \frac{2}{L} \sum_{n=1}^{\infty} \cos\left(\frac{\pi n x}{L}\right) \int_0^L g(x,t) \cos\left(\frac{\pi n x}{L}\right) dx. \end{aligned}$$

Далее в полученном уравнении группируем слагаемые при одинаковых значениях  $n$  и приравниваем их. Тогда

$$\frac{\partial h_0(t)}{\partial t} = \frac{1}{L} \int_0^L g(x,t) dx, \quad \frac{\partial h_n(t)}{\partial t} = -\alpha \frac{\pi^2 n^2}{L^2} h_n(t) + \frac{2}{L} \int_0^L g(x,t) \cos\left(\frac{\pi n x}{L}\right) dx.$$

Решениями данных уравнений являются следующие функции

$$h_0(t) = \frac{1}{L} \int_0^t \int_0^L g(x,\tau) d\tau + C_{06}, \quad h_n(t) = \frac{2}{L} \int_0^t e^{-\frac{\pi^2 n^2}{L^2} \alpha \tau} \int_0^L g(x,\tau) \cos\left(\frac{\pi n x}{L}\right) dx d\tau + C_{n6},$$

где  $C_{06}$  и  $C_{n6}$  - постоянные интегрирования. Подстановка полученных соотношений в предлагаемую форму решения (14) уравнения (8б) приводит к следующему результату

$$T(x,t) = C_{06} + \sum_{n=1}^{\infty} \left[ \frac{2}{L} \int_0^t e^{\frac{\pi^2 n^2}{L^2} \alpha \tau} \int_0^L g(x,\tau) \cos\left(\frac{\pi n x}{L}\right) dx d\tau + C_{n6} \right] \cos\left(\frac{\pi n x}{L}\right) + \frac{1}{L} \int_0^t \int_0^L g(x,\tau) dx d\tau. \quad (17)$$

Постоянные интегрирования  $C_{06}$  и  $C_{n6}$  определим с помощью начального условия. Для этого в соотношение (17) подставим нулевое значение переменной  $t$  и приравняем полученный результат разложению начального условия  $\chi(x)$  (16), т.е.

$$\frac{1}{L} \int_0^L \int_0^L g(x,\tau) dx d\tau + \sum_{n=1}^{\infty} \left[ \frac{2}{L} \int_0^0 e^{\frac{\pi^2 n^2}{L^2} \alpha \tau} \int_0^L g(x,\tau) \cos\left(\frac{\pi n x}{L}\right) dx d\tau + C_{n6} \right] \cos\left(\frac{\pi n x}{L}\right) + C_{06} = \frac{1}{L} \int_0^L \chi(x) dx + \frac{2}{L} \sum_{n=1}^{\infty} \cos\left(\frac{\pi n x}{L}\right) \int_0^L \chi(x) \cos\left(\frac{\pi n x}{L}\right) dx.$$

Тогда

$$C_{06} = \frac{1}{L} \int_0^L \chi(x) dx, \quad C_{n6} = \int_0^L \chi(x) \cos\left(\frac{\pi n x}{L}\right) dx.$$

В окончательной форме решение уравнения (8б) имеет следующий вид

$$T(x,t) = \frac{1}{L} \int_0^t \int_0^L g(x,\tau) dx d\tau + \frac{1}{L} \int_0^L \chi(x) dx + \sum_{n=1}^{\infty} \left[ \frac{2}{L} \int_0^t e^{\frac{\pi^2 n^2}{L^2} \alpha \tau} \int_0^L g(x,\tau) \cos\left(\frac{\pi n x}{L}\right) dx d\tau + \int_0^L \chi(x) \cos\left(\frac{\pi n x}{L}\right) dx \right] \cos\left(\frac{\pi n x}{L}\right).$$

Рассмотренные методы решения также применимы и для решения уравнения диффузии, но в таком случае решаемой дифференциальное уравнение будет называться уравнением диффузии, решение уравнения будет называться не температурой, а концентрацией диффундирующего вещества, коэффициент  $\alpha$  будет называться коэффициентом диффузии и обычно имеет другое обозначение (чаще  $D$ ).

### 2.3. Теплопроводность в неоднородных материалах

В данном разделе рассмотрим несколько методов решения уравнений в частных производных с переменными коэффициентами, применимых для всех типов уравнений. В качестве примера выберем параболическое уравнение с коэффициентом  $\alpha$ , зависящим в общем случае как от переменной  $x$ , так и от переменной  $t$ , а также от решения уравнения  $u(x,t)$

$$\frac{\partial T(x,t)}{\partial t} = \frac{\partial}{\partial x} \left[ \alpha(x) \frac{\partial T(x,t)}{\partial x} \right] \quad (18)$$

со следующими граничными и начальным условиями



$$-\lambda \frac{\partial T(x,t)}{\partial x} \Big|_{x=0} = 0, \quad -\lambda \frac{\partial T(x,t)}{\partial x} \Big|_{x=L} = 0, \quad T(x,0) = \chi(x).$$

Уравнение (18) в столь общем случае точного решения не имеет. На следующих примерах проиллюстрируем несколько приближённых методов решения.

### Пример 3

В качестве первого примера рассмотрим систему из двух бесконечных цилиндров с коэффициентом теплопроводности  $\alpha(r,t)$ , принимающим два значения:  $\alpha_1$  при  $0 \leq r \leq R_1$  и  $\alpha_2$  при  $R_1 \leq r \leq R_2$  для любого значения переменной  $t$  (см. рис. 1). Обозначим температуру в каждом цилиндре аналогично  $T_1(r,t)$  и  $T_2(r,t)$  для  $0 \leq r \leq R_1$  и  $R_1 \leq r \leq R_2$ . Рассмотрим теплообмен данной системы с окружающей средой при условии, что в начальный момент времени ( $t=0$ ) температура в каждом цилиндре постоянна и равна  $T_1(r,0) = T_2(r,0) = T_0$ . Далее данную систему цилиндров помещают в среду с постоянной температурой  $T_c$ . При этом  $T_c < T_0$ . В данном случае изменение температуры в системе цилиндров описывается следующей системой уравнений

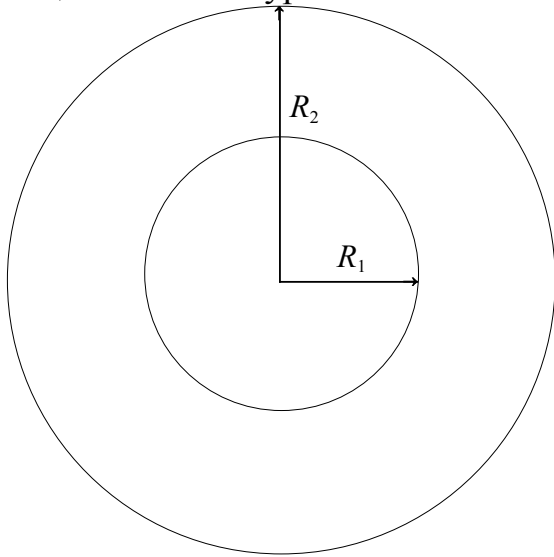


Рис. 1. Система из двух цилиндров с различными радиусами  $R_1$  и  $R_2$ .

$$\begin{cases} \frac{\partial T_1(r,t)}{\partial t} = \frac{D_1}{r} \frac{\partial}{\partial r} \left[ r \frac{\partial T_1(r,t)}{\partial r} \right], & 0 \leq r \leq R_1 \\ \frac{\partial T_2(r,t)}{\partial t} = \frac{D_2}{r} \frac{\partial}{\partial r} \left[ r \frac{\partial T_2(r,t)}{\partial r} \right], & R_1 \leq r \leq R_2. \end{cases} \quad (19)$$

со следующими граничными и начальными условиями

$$T_1(r,0) = T_2(r,0) = T_0, \quad T_1(R_1,t) = T_2(R_2,t), \quad -\lambda_1 \frac{\partial T_1(r,t)}{\partial r} \Big|_{r=R_1} = -\alpha_2 \frac{\partial T_2(r,t)}{\partial r} \Big|_{r=R_1},$$

$$T_1(0,t) < \infty, \quad -\alpha_2 \frac{\partial T_2(r,t)}{\partial r} \Big|_{r=R_2} + \beta [T_1 - T_2(R_2,t)] = 0.$$

Для нахождения решения системы (52) воспользуемся преобразованием Лапласа. Тогда

$$\begin{cases} \frac{\alpha_1}{r} \frac{\partial}{\partial r} \left[ r \frac{\partial Y_1(r,s)}{\partial r} \right] - s Y_1(r,s) = -T_0, & 0 \leq r \leq R_1 \\ \frac{\alpha_2}{r} \frac{\partial}{\partial r} \left[ r \frac{\partial Y_2(r,s)}{\partial r} \right] - s Y_2(r,s) = -T_0, & R_1 \leq r \leq R_2. \end{cases} \quad (19a)$$

$$\begin{aligned} T_1(0,s) < \infty, \quad -\alpha_2 \frac{\partial T_2(r,s)}{\partial r} \Big|_{r=R_2} + \beta \left[ \frac{T_1}{s} - T_2(R_2,s) \right] = 0, \quad T_1(R_1,s) = T_2(R_2,s), \\ -\alpha_1 \frac{\partial T_1(r,s)}{\partial r} \Big|_{r=R_1} = -\alpha_2 \frac{\partial T_2(r,s)}{\partial r} \Big|_{r=R_1}. \end{aligned}$$

Подробно рассматривать решение уравнения (52a) и переход от Лаплас-образа к оригиналу не будем из-за большого объёма соотношений. Приведём лишь конечное решение уравнения (52). Оно может быть представлено в следующей форме

$$\begin{cases} T_1(r,t) = T_0 - (T_c - T_0) \sum_{n=1}^{\infty} A_n J_0 \left( \mu_n \frac{r}{R_1} \right) \exp \left( -\frac{\mu_n^2 T_1 t}{R_1^2} \right) \\ T_2(r,t) = T_0 - (T_c - T_0) \sum_{n=1}^{\infty} A_n \exp \left( -\frac{\mu_n^2 T_2 t}{R_2^2} \right) \left\{ J_0(\mu_n) \cos \left[ \mu_n \sqrt{\frac{\alpha_2}{\alpha_1}} \left( \frac{r}{R_1} - 1 \right) \right] - \right. \\ \left. - J_1(\mu_n) \frac{\lambda_1}{\lambda_2} \sqrt{\frac{\alpha_2}{\alpha_1}} \sin \left[ \mu_n \sqrt{\frac{\alpha_2}{\alpha_1}} \left( \frac{r}{R_1} - 1 \right) \right] \right\}, \end{cases}$$

где  $\lambda_i$  и  $\alpha_i$  - коэффициенты теплопроводности и температуропроводности цилиндров,  $\mu_n$  - корни уравнения

$$\begin{aligned} J_0(\mu) \left\{ \frac{\alpha_j R_j}{\lambda_j} \cos \left[ \sqrt{\frac{\alpha_1}{\alpha_2}} \left( \frac{R_2}{R_1} - 1 \right) \right] - \mu \frac{R_2}{R_1} \sqrt{\frac{\alpha_1}{\alpha_2}} \sin \left[ \mu \sqrt{\frac{\alpha_1}{\alpha_2}} \left( \frac{R_2}{R_1} - 1 \right) \right] \right\} - \quad (20) \\ - \frac{\lambda_1}{\lambda_2} \sqrt{\frac{\alpha_2}{\alpha_1}} J_1(\mu) \left\{ \frac{\alpha_j R_j}{\lambda_j} \cos \left[ \sqrt{\frac{\alpha_1}{\alpha_2}} \left( \frac{R_2}{R_1} - 1 \right) \right] + \mu \frac{R_2}{R_1} \sqrt{\frac{\alpha_1}{\alpha_2}} \sin \left[ \mu \sqrt{\frac{\alpha_1}{\alpha_2}} \left( \frac{R_2}{R_1} - 1 \right) \right] \right\} = 0, \\ A_n = 2 \frac{\lambda_1 \alpha_j R_j}{\lambda_2 \lambda_j} \sqrt{\frac{\alpha_2}{\alpha_1}} \left\{ \mu_n \sqrt{\frac{\alpha_1}{\alpha_2}} \left( 1 - \frac{R_2}{R_1} \right) + \frac{\alpha_j R_j}{\lambda_j} \operatorname{tg} \left[ \mu_n \sqrt{\frac{\alpha_1}{\alpha_2}} \left( 1 - \frac{R_2}{R_1} \right) \right] \right\} \times \\ \times \left( \left[ \mu_n^2 \frac{\lambda_1^2 \alpha_2}{\lambda_2^2 \alpha_1} \left( \frac{R_2}{R_1} - 1 \right)^2 + \frac{\alpha_j^2 R_j^2}{\lambda_j^2} \right] \operatorname{ctg} \left[ \mu_n \left( \frac{R_2}{R_1} - 1 \right) \sqrt{\frac{\alpha_1}{\alpha_2}} \right] - 2 \left[ \mu_n^2 \left( \frac{R_2}{R_1} - 1 \right)^2 \frac{\alpha_1}{\alpha_2} + \right. \right. \end{aligned}$$

$$\begin{aligned}
& + \frac{\alpha_j^2 R_j^2}{\lambda_j^2} \left] \lambda_1 \left( 1 - \frac{R_2}{R_1} \right) \left\{ \lambda_2 \sqrt{\frac{\alpha_1}{\alpha_2}} \sin \left[ 2\mu_n \sqrt{\frac{\alpha_1}{\alpha_2}} \left( \frac{R_2}{R_1} - 1 \right) \right] \right\}^{-1} + \operatorname{tg} \left[ \mu_n \sqrt{\frac{\alpha_1}{\alpha_2}} \left( \frac{R_2}{R_1} - 1 \right) \right] \times \\
& \times \left[ \mu_n^2 \frac{\alpha_1}{\alpha_2} \left( \frac{R_2}{R_1} - 1 \right)^2 + 2 \left( \frac{R_2}{R_1} - 1 \right) \frac{\lambda_1 \alpha_i R_i}{\lambda_2 \lambda_i} \sqrt{\frac{\alpha_2}{\alpha_1}} + \alpha_1 \alpha_2 \frac{R_i^2}{\lambda_2^2} \right] + 2\mu_n^2 \left( \frac{R_2}{R_1} - 1 \right)^2 \frac{\lambda_1}{\lambda_2} - \\
& - 2\mu_n \sqrt{\frac{\alpha_1}{\alpha_2}} \left( \frac{R_2}{R_1} - 1 \right) \frac{\alpha_j R_j}{\lambda_j} - 2\mu_n R_j \frac{\alpha_j \lambda_1^2}{\lambda_j \lambda_2^2} \left( 1 - \frac{R_2}{R_1} \right) - \sqrt{\frac{\alpha_2}{\alpha_1}} \frac{\lambda_1 D_j^2 R_j^2}{\lambda_2 \lambda_j^2 \mu_n} \Big)^{-1} \times \\
& \times \left\{ \mu_n \sin \left[ \mu_n \sqrt{\alpha_1 / \alpha_2} \left( 1 - R_2 / R_1 \right) \right] \right\}^{-1}, j=1,2.
\end{aligned}$$

Недостатком данного метода решения является громоздкость преобразований при нахождении решения краевой задачи, необходимость решения трансцендентных уравнений типа уравнения (20) для определения постоянных интегрирования и необходимость не всегда приемлемой идеализации резкой границы между слоями.

#### Пример 4

В качестве следующего метода решения уравнения (18) рассмотрим метод функциональных поправок, являющийся дальнейшим развитием метода малого параметра и снимающим ограничение малости (точнее - физической малости) используемого параметра. В рамках данного метода представим коэффициент теплопроводности в виде суммы его постоянной и переменной составляющих, т.е.  $\alpha(x) = \alpha_0 [1 + \varepsilon h(x)]$ , где  $0 \leq \varepsilon \ll 1$ ,  $|h(x)| \leq 1$ ,  $\alpha_0$  - среднее значение коэффициента теплопроводности. Будем искать решение уравнения (18) в виде степенного ряда по параметру  $\varepsilon$ :

$$T(x, t) = \sum_{k=0}^{\infty} \varepsilon^k T_k(x, t). \quad (21)$$

Функции  $T_k(x, t)$  являются решением системы уравнений:

$$\frac{\partial T_0(x, t)}{\partial t} = \alpha_0 \frac{\partial^2 T_0(x, t)}{\partial x^2}; \quad \frac{\partial T_k(x, t)}{\partial t} = \alpha_0 \left\{ \frac{\partial^2 T_k(x, t)}{\partial x^2} + \left[ \frac{\partial}{\partial x} h(x) \frac{\partial T_{k-1}(x, t)}{\partial x^2} \right] \right\}, k \geq 1 \quad (22)$$

с граничными и начальными условиями:

$$-\lambda \frac{\partial T_{k \geq 0}(x, t)}{\partial x} \Big|_{x=0} = 0, \quad -\lambda \frac{\partial T_{k \geq 0}(x, t)}{\partial x} \Big|_{x=L} = 0, \quad T_0(x, 0) = \chi(x), \quad T_{k \geq 1}(x, 0) = 0. \quad (23)$$

Данный метод решения дает возможность найти аналитическое решение уравнения теплопроводности при произвольном профиле коэффициента теплопроводности. Функция  $T_0(x, t)$  называется нулевым приближением температуры, функции  $T_k(x, t)$  при  $k \geq 1$  называются поправочными функциями к нулевому приближению температуры. Нулевое приближение температуры удовлетворяет

первому уравнению системы (22) с условиями (23) и описывается следующим рядом

$$T_0(x,t) = \int_0^L f(x) dx + \frac{2}{L} \sum_{n=1}^{\infty} \cos\left(\frac{\pi n x}{L}\right) \int_0^L f(x) \cos\left(\frac{\pi n x}{L}\right) dx e^{-\left(\frac{\pi n}{L}\right)^2 \alpha t},$$

т.е. является решением линейного уравнения теплопроводности с постоянным коэффициентом теплопроводности. Поправочные функции  $T_k(x,t)$  при  $k \geq 1$  определяются следующими рядами

$$T_k(x,t) = -2 \frac{\pi}{L^2} \sum_{n=1}^{\infty} n \cdot \cos\left(\frac{\pi n x}{L}\right) \int_0^L f(x) \cos\left(\frac{\pi n x}{L}\right) dx e^{-\left(\frac{\pi n}{L}\right)^2 \alpha t} \times \\ \times \int_0^t e^{-\left(\frac{\pi n}{L}\right)^2 \alpha \tau} \int_0^L h(v) \frac{\partial T(v,t)}{\partial v} \sin\left(\frac{\pi n v}{L}\right) dv d\tau, k \geq 1.$$

С помощью данного метода могут быть также учтены временная и температурная зависимости коэффициента теплопроводности. В случае температурной зависимости коэффициента теплопроводности уравнение теплопроводности будет нелинейным.

### 3. Диффузия

Диффузия - процесс взаимного проникновения молекул или атомов одного вещества между молекулами или атомами другого, приводящий к самопроизвольному выравниванию их концентраций по всему занимаемому объёму. В некоторых ситуациях одно из веществ уже имеет выравненную концентрацию и говорят о диффузии одного вещества в другом. При этом перенос вещества происходит из области с высокой концентрацией в область с низкой концентрацией (вдоль вектора градиента концентрации). Для описания диффузии используется уравнение диффузии, аналогичное уравнению теплопроводности (8)

$$\frac{\partial C(x,t)}{\partial t} = \frac{\partial}{\partial x} \left[ D \frac{\partial C(x,t)}{\partial x} \right] + g(x,t). \quad (24)$$

В данном уравнении  $C(x,t)$  - концентрация диффундирующего вещества,  $D$  - коэффициент диффузии диффундирующего вещества. Источник примеси  $g(x,t)$  может быть отдельным слагаемым в уравнении, а может учитываться в граничном условии (в том случае, когда он находится на границе рассматриваемой области). Рассмотренные для описания теплопроводности методы решения краевых задач могут быть использованы и для описания диффузии. На примере диффузии рассмотрим метод функциональных поправок в применении к решению уравнения диффузии с переменным в пространстве и времени коэффициентом диффузии и с учётом нелинейности данного уравнения. Для этого рассмотрим уравнение (24) в следующей форме [18]

$$\frac{\partial C(x,t)}{\partial t} = \frac{\partial}{\partial x} \left\{ D_L(x,t) \left[ 1 + \mu \frac{C'(x,t)}{P'(x,t)} \right] \frac{\partial C(x,t)}{\partial x} \right\} \quad (24a)$$

с граничными и начальным условиями

$$-D \frac{\partial C(x,t)}{\partial x} \Big|_{x=0} = 0, \quad -D \frac{\partial C(x,t)}{\partial x} \Big|_{x=L} = 0, \quad C(x,0) = \chi(x).$$

### 3.1. Нелинейная диффузия в материалах с переменным в пространстве и времени коэффициентом диффузии

В уравнении (24a)  $D_L(x,t)$ ,  $P(x,t)$  и  $\gamma$  - соответственно известные функции и параметр. Рассмотрим пока простейший случай равенства единице параметра  $\gamma$ . Далее представим функцию  $D_L(x,t)$  в виде суммы её среднего значения  $D_0$  и поправочной функции, учитывающей отличие функции  $D_L(x,t)$  от её среднего значения, т.е.

$$\frac{\partial C(x,t)}{\partial t} = D_0 \frac{\partial}{\partial x} \left\{ [1 + \varepsilon h(x,t)] \left[ 1 + \mu \frac{C^\gamma(x,t)}{P^\gamma(x,t)} \right] \frac{\partial C(x,t)}{\partial x} \right\}, \quad (24б)$$

где  $0 \leq \varepsilon < 1$ ,  $|g(x,t)| \leq 1$ . Ограниченность по модулю произведения  $|\varepsilon \cdot h(x,t)| < 1$  является следствием физической реализуемости функции  $D_L(x,t)$  (например, положительность коэффициента диффузии или температуропроводности). Далее будем искать решение уравнения (24б) в виде степенного ряда [18]

$$C(x,t) = \sum_{i=0}^{\infty} \varepsilon^i \sum_{j=0}^{\infty} \mu^j C_{ij}(x,t). \quad (25)$$

Подстановка предлагаемой формы решения в уравнение (25a) и приравнивание коэффициентов при одинаковых степенях параметров  $\varepsilon$  и  $\mu$  позволяет получить систему уравнений для функций  $C_{ij}(x,t)$

$$\begin{aligned} \frac{\partial C_{00}(x,t)}{\partial t} &= D_0 \frac{\partial^2 C_{00}(x,t)}{\partial x^2}, \\ \frac{\partial C_{10}(x,t)}{\partial t} &= D_0 \frac{\partial^2 C_{10}(x,t)}{\partial x^2} + D_0 \frac{\partial}{\partial x} \left[ h(x,t) \frac{\partial C_{00}(x,t)}{\partial x} \right], \\ \frac{\partial C_{01}(x,t)}{\partial t} &= D_0 \frac{\partial^2 C_{01}(x,t)}{\partial x^2} + D_0 \frac{\partial}{\partial x} \left[ \frac{C_{00}(x,t)}{P(x,t)} \frac{\partial C_{00}(x,t)}{\partial x} \right], \\ \frac{\partial C_{11}(x,t)}{\partial t} &= D_0 \frac{\partial^2 C_{11}(x,t)}{\partial x^2} + D_0 \frac{\partial}{\partial x} \left[ h(x,t) \frac{\partial C_{01}(x,t)}{\partial x} \right] + D_0 \frac{\partial}{\partial x} \left[ \frac{C_{00}(x,t)}{P(x,t)} \frac{\partial C_{10}(x,t)}{\partial x} \right] + \\ &+ D_0 \frac{\partial^2 C_{11}(x,t)}{\partial x^2} + D_0 \frac{\partial}{\partial x} \left[ \frac{C_{10}(x,t)}{P(x,t)} \frac{\partial C_{00}(x,t)}{\partial x} \right] + D_0 \frac{\partial}{\partial x} \left[ h(x,t) \frac{C_{00}(x,t)}{P(x,t)} \frac{\partial C_{00}(x,t)}{\partial x} \right], \\ \frac{\partial C_{20}(x,t)}{\partial t} &= D_0 \frac{\partial^2 C_{20}(x,t)}{\partial x^2} + D_0 \frac{\partial}{\partial x} \left[ h(x,t) \frac{\partial C_{10}(x,t)}{\partial x} \right], \end{aligned} \quad (26)$$

$$\frac{\partial C_{02}(x,t)}{\partial t} = D_0 \frac{\partial^2 C_{02}(x,t)}{\partial x^2} + D_0 \frac{\partial}{\partial x} \left[ \frac{C_{00}(x,t)}{P(x,t)} \frac{\partial C_{01}(x,t)}{\partial x} \right] + D_0 \frac{\partial}{\partial x} \left[ \frac{C_{01}(x,t)}{P(x,t)} \frac{\partial C_{00}(x,t)}{\partial x} \right].$$

Подстановка ряда (25) в граничные и начальные условия для уравнения (24a) позволяет получить граничные и начальные условия для системы уравнений (26) в следующем виде

$$\left. \frac{\partial C_{ij}(x,t)}{\partial x} \right|_{x=0} = \left. \frac{\partial C_{ij}(x,t)}{\partial x} \right|_{x=L} = 0, \quad i \geq 0, j \geq 0; \quad C_{00}(x,0) = \chi(x), \quad C_{ij}(x,0) = 0, \quad i \geq 1, j \geq 1.$$

Таким образом, вместо исходного нелинейного уравнения (24a) с зависящим от независимых переменных  $x$  и  $t$  коэффициентом  $D$  получена система линейных неоднородных (за исключением уравнения для функции  $C_{00}(x,t)$ ) уравнений с постоянным коэффициентом  $D$ . Решая уравнения системы (26) методом разделения переменных, получаем

$$C_{00}(x,t) = \frac{1}{L} \int_0^L \chi(x) dx + \frac{2}{L} \sum_{n=1}^{\infty} \cos\left(\frac{\pi n x}{L}\right) \exp\left(-\frac{\pi^2 n^2 D_0 t}{L^2}\right) \int_0^L \chi(v) \cos\left(\frac{\pi n v}{L}\right) dv,$$

$$C_{10}(x,t) = 2 \frac{D_0}{L^2} \sum_{m=1}^{\infty} m \int_0^t \exp\left(\frac{\pi^2 m^2 D_0 \tau}{L^2}\right) \int_0^L h(v,\tau) \frac{\partial C_{00}(v,\tau)}{\partial v} \sin\left(\frac{\pi m v}{L}\right) dv d\tau \times \\ \times \cos\left(\frac{\pi m x}{L}\right) \cdot \exp\left(-\frac{\pi^2 m^2 D_0 t}{L^2}\right),$$

$$C_{01}(x,t) = 2 \frac{D_0}{L^2} \sum_{m=1}^{\infty} m \int_0^t \exp\left(\frac{\pi^2 m^2 D_0 \tau}{L^2}\right) \int_0^L \frac{C_{00}(v,\tau)}{P(v,\tau)} \frac{\partial C_{00}(v,\tau)}{\partial v} \sin\left(\frac{\pi m v}{L}\right) dv d\tau \times \\ \times \cos\left(\frac{\pi m x}{L}\right) \exp\left(-\frac{\pi^2 m^2 D_0 t}{L^2}\right),$$

... ..

Подстановка нулевого приближения в поправочные функции  $C_{10}(x,t)$  и  $u_{01}(x,t)$  позволяет получить соотношения для них в явном виде

$$C_{10}(x,t) = 2\pi \frac{D_0}{L^4} \sum_{m=1}^{\infty} m \cdot \sum_{n=1}^{\infty} n \cdot \cos\left(\frac{\pi m x}{L}\right) \int_0^t \exp\left[\frac{(m^2 - n^2)\pi^2 D_0 \tau}{L^2}\right] \int_0^L \cos\left(\frac{\pi n w}{L}\right) \times \\ \times \chi(w) dw \int_0^L h(v,\tau) \left\{ \cos\left[\pi v \frac{m+n}{L}\right] - \cos\left[\pi v \frac{m-n}{L}\right] \right\} dv d\tau \cdot \exp\left(-\frac{\pi^2 m^2 D_0 t}{L^2}\right),$$

$$C_{01}(x,t) = 2\pi \frac{D_0}{L^4} \sum_{m=1}^{\infty} m \cdot \sum_{n=1}^{\infty} n \cdot \cos\left(\frac{\pi m x}{L}\right) \exp\left(-\frac{\pi^2 m^2 D_0 t}{L^2}\right) \int_0^t \exp\left[\frac{(m^2 - n^2)\pi^2 D_0 \tau}{L^2}\right] \times \\ \times \int_0^L \frac{1}{P(v,\tau)} \left\{ \cos\left[\pi v \frac{m+n}{L}\right] - \cos\left[\pi v \frac{m-n}{L}\right] \right\} \int_0^L \chi(w) \cos\left(\frac{\pi n w}{L}\right) dw \int_0^L \chi(w) dw +$$

$$+ 2 \sum_{k=1}^{\infty} \exp\left(-\frac{\pi^2 k^2 D_0 \tau}{L^2}\right) \cos\left(\frac{\pi k v}{L}\right) \int_0^L \chi(w) \cos\left(\frac{\pi k w}{L}\right) dw \Big] dv d\tau.$$

Решение следующих уравнений системы (26) позволяет увеличить точность аппроксимации решения уравнения (24a). Следует заметить, что положительность коэффициента  $D$  в уравнении (24a) за счёт физических ограничений, а также способ введения параметра  $\varepsilon$  и функции  $h(x,t)$  приводят к сходимости ряда (25) по параметру  $\varepsilon$ .

### 3.2. Диффузия примеси из постоянного источника

Рассмотрим диффузию примеси из постоянного источника во время легирования материала и одновременно проиллюстрируем метод интегральных преобразований. Однако данный метод как правило применим для линейных уравнений с постоянными коэффициентами. В таком случае уравнение диффузии имеет следующий вид

$$\frac{\partial C(x,t)}{\partial t} = D \frac{\partial^2 C(x,t)}{\partial x^2}$$

с граничными и начальными условиями

$$C(0,t)=C_0, \left. \frac{\partial C(x,t)}{\partial x} \right|_{x=L} = 0, C(x=0,0)=C, c(x>0,0)=0.$$

Решение данной краевой задачи может быть получено переходом к интегральному преобразованию вместо исходной концентрации  $C(x,t)$ . Данной преобразование определяется соотношением [19]

$$\bar{C}(\xi, y) = \int_a^b C(x, y) K(x, \xi) dx,$$

где  $c \leq \xi \leq d$ ,  $K(x, \xi)$  – зависящая от вида интегрального преобразования функция, определённая в области  $a \leq \xi \leq b$ ,  $c \leq \xi \leq d$ , называемая ядром интегрального преобразования. Функция  $C(x, y)$  обычно называется оригиналом, функция  $\bar{C}(\xi, y)$  – образом или изображением.

Далее применим преобразование Лапласа к правой и левой частям последнего уравнения

$$\int_0^{\infty} \frac{\partial C(x,t)}{\partial t} e^{-st} dt = D \int_0^{\infty} \frac{\partial^2 C(x,t)}{\partial x^2} e^{-st} dt.$$

Вычисление по частям интеграла в левой части данного уравнения, а также изменение порядка дифференцирования по переменной  $x$  и интегрирования по переменной  $t$  в правой части данного уравнения приводит к следующему результату

$$s \bar{C}(x, s) - C(x, 0) = D \frac{\partial^2 \bar{C}(x, s)}{\partial x^2},$$

где  $\bar{C}(x,s) = \int_0^{\infty} C(x,t)e^{-st} dt$ . Функция  $C(x,0)$  равна нулю во всех точках интервала  $0 < x \leq L$ . Значение функции  $C(0,0)$  может быть учтено в граничном условии. Таким образом, последнее уравнение с частными производными преобразуется к следующему обыкновенному дифференциальному уравнению

$$\frac{\partial^2 \bar{C}(x,s)}{\partial x^2} - \frac{s}{D} \bar{C}(x,s) = 0.$$

Лаплас-образ граничных условий для данного уравнения имеет вид

$$\bar{C}(0,s) = \frac{C_0}{s}, \quad \left. \frac{\partial \bar{C}(x,s)}{\partial x} \right|_{x=L} = 0.$$

Метод Эйлера позволяет получить решение последнего уравнения в виде линейной комбинации экспоненциальных функций с одинаковыми по модулю, но разными по знаку показателями степени:

$$\bar{C}(x,s) = C_1 \exp\left(x\sqrt{\frac{s}{D}}\right) + C_2 \exp\left(-x\sqrt{\frac{s}{D}}\right). \quad (27)$$

Для определения постоянных интегрирования найдём производную от решения (27) переменной  $x$ . В данном случае имеем

$$\frac{d\bar{C}(x,s)}{dx} = C_1 \sqrt{\frac{s}{D}} \exp\left(x\sqrt{\frac{s}{D}}\right) - C_2 \sqrt{\frac{s}{D}} \exp\left(-x\sqrt{\frac{s}{D}}\right). \quad (28)$$

Далее как в решении (27), так и в его производной (28) выберем соответствующие граничные значения переменной  $x$ , т.е.

$$\bar{C}(0,s) = C_1 + C_2, \quad \left. \frac{d\bar{C}(x,s)}{dx} \right|_{x=L} = C_1 \sqrt{\frac{s}{D}} \exp\left(L\sqrt{\frac{s}{D}}\right) - C_2 \sqrt{\frac{s}{D}} \exp\left(-L\sqrt{\frac{s}{D}}\right).$$

В результате получим следующую систему уравнений для определения искомым постоянных интегрирования

$$C_1 + C_2 = \frac{C_0}{s}, \quad C_1 \sqrt{\frac{s}{D}} \exp\left(L\sqrt{\frac{s}{D}}\right) - C_2 \sqrt{\frac{s}{D}} \exp\left(-L\sqrt{\frac{s}{D}}\right) = 0.$$

В результате решения данной системы получаем

$$C_1 = 2 \frac{C_0}{s} \exp\left(-L\sqrt{\frac{s}{D}}\right) / \operatorname{ch}\left(L\sqrt{\frac{s}{D}}\right), \quad C_2 = 2 \frac{C_0}{s} \exp\left(L\sqrt{\frac{s}{D}}\right) / \operatorname{ch}\left(L\sqrt{\frac{s}{D}}\right).$$

В данном соотношении функция  $y(x) = \operatorname{ch}(x)$  называется гиперболическим косинусом [17]. Эту функцию можно выразить через экспоненциальную функцию  $y(x) = \exp(x)$  следующим образом

$$\operatorname{ch}(x) = [\exp(x) - \exp(-x)]/2.$$



С учётом определённых постоянных интегрирования получаем окончательную форму решения (27)

$$\bar{C}(x,s) = \frac{2C_0}{s \cdot \operatorname{ch}(L\sqrt{s/D})} \exp\left(x\sqrt{\frac{s}{D}}\right) \exp\left(-L\sqrt{\frac{s}{D}}\right) + \frac{2C_0}{s \cdot \operatorname{ch}(L\sqrt{s/D})} \exp\left(-x\sqrt{\frac{s}{D}}\right) \exp\left(L\sqrt{\frac{s}{D}}\right).$$

После приведения в последнем соотношении (48) подобных членов получаем

$$\bar{C}(x,s) = \frac{2C_0}{s} \left\{ \exp\left[(x-L)\sqrt{\frac{s}{D}}\right] + \exp\left[(L-x)\sqrt{\frac{s}{D}}\right] \right\} / \operatorname{ch}\left(L\sqrt{\frac{s}{D}}\right).$$

В окончательном виде Лаплас-образ решения данной краевой задачи имеет вид

$$\bar{C}(x,s) = \frac{C_0}{s} \frac{\operatorname{ch}[(L-x)\sqrt{s/D}]}{\operatorname{ch}(L\sqrt{s/D})}. \quad (27a)$$

Далее с помощью обратного преобразования Лапласа можно найти оригинал функции (27a). Для этого необходимо вычислить интеграл

$$C(x,t) = \frac{1}{2\pi i} \int_{\sigma-i\infty}^{\sigma+i\infty} \bar{u}(x,s) e^{st} ds,$$

где  $i = \sqrt{-1}$ . Интегрирование происходит в комплексной плоскости  $s = \xi + i\eta$  вдоль прямой  $\sigma = \text{const}$ , параллельной мнимой оси. Действительные числа  $\xi$  выбираются так, чтобы все особые точки подынтегрального выражения в обратном Лаплас-преобразовании лежали в левой полуплоскости комплексной плоскости. Оригинал для функции (27a) можно также определить, пользуясь соответствующими таблицами интегральных преобразований. Воспользовавшись таблицами данных преобразований, можно получить [19]

$$C(x,t) = C_0, \quad C(x > 0, t) = C_0 \left\{ 1 - \frac{2}{\pi} \sum_{n=0}^{\infty} \frac{1}{n+0,5} \exp\left[-\frac{\pi^2(n+0,5)^2 Dt}{L^2}\right] \sin\left[\frac{\pi(n+0,5)x}{L}\right] \right\}.$$

### 3.3. Конвективная диффузия

В данном разделе рассмотрим диффузию вещества в потоке газа или жидкости. Например, такая ситуация может возникать при выращивании гетероструктур. На её примере и рассмотрим конвективную диффузию, но она может протекать и в других ситуациях. Одновременно рассмотрим ещё один метод решения краевых задач. Рассмотрим конвективную диффузию одного газа в движущемся со скоростью  $\bar{v}$  другом газе внутри цилиндра с внутренним радиусом  $R$ . Внутри цилиндра имеется вращающийся с частотой  $\omega$  диск, перпендикулярный движению газов. Радиус диска почти совпадает с радиусом цилиндра. При решении такой задачи необходимо учитывать течение смеси газов и её концентрацию, описываемые уравнением Навье-Стокса и уравнением диффузии с конвективным членом. При этом будем считать, что радиус диска  $R$  суще-

ственно превышает толщину диффузионного и пограничного слоев, а течение газа будем считать ламинарным. В таком случае данные уравнения представимы в следующей форме

$$\frac{\partial \vec{v}}{\partial t} + (\vec{v} \cdot \nabla) \vec{v} = -\nabla \left( \frac{P}{\rho} \right) + \nu \Delta \vec{v}, \quad (29)$$

$$\frac{\partial C(r, \varphi, z, t)}{\partial t} = \text{div} \{ D \cdot \text{grad} [C(r, \varphi, z, t)] - \vec{v}(r, \varphi, z, t) \cdot C(r, \varphi, z, t) \}, \quad (30)$$

где  $D$  - коэффициент диффузии смеси газов (газов-реагентов и газа-носителя);  $P$  - давление газа в реакторе;  $\nu$  - кинематическая вязкость. Параметры уравнений (29) и (30) зависят от температуры, а она может изменяться в пространстве и со временем. По этой причине уравнения (29) и (30) дополним уравнением теплопроводности

$$c \frac{\partial T(r, \varphi, z, t)}{\partial t} = \text{div} \{ \lambda \cdot \text{grad} [T(r, \varphi, z, t)] - \vec{v}(r, \varphi, z, t) \cdot c(T) \cdot T(r, \varphi, z, t) \} + p(r, \varphi, z, t), \quad (31)$$

Рассматривая режим предельного потока, когда все приближающиеся к диску молекулы осаждаемого вещества оседают на подложке, однородности и одномерности потока на входе в зону реакции, граничные и начальные условия представимы в виде

$$\begin{aligned} C(r, \varphi, -L, t) &= C_0, \quad C(r, \varphi, 0, t) = 0, \quad C(r, 0, z, t) = C(r, 2\pi, z, t), \quad C(r, \varphi, z, 0) = C_0 \delta(z+L), \\ C(0, \varphi, z, t) &\neq \infty, \quad \left. \frac{\partial C(r, \varphi, z, t)}{\partial r} \right|_{r=R} = 0, \quad \left. \frac{\partial C(r, \varphi, z, t)}{\partial \varphi} \right|_{\varphi=0} = \left. \frac{\partial C(r, \varphi, z, t)}{\partial \varphi} \right|_{\varphi=2\pi}, \quad T(r, 0, z, t) = \\ &= T(r, 2\pi, z, t), \quad -\lambda \left. \frac{\partial T(r, \varphi, z, t)}{\partial r} \right|_{r=R} = \sigma T^4(R, \varphi, z, t), \quad T(r, \varphi, z, 0) = T_r, \quad -\lambda \left. \frac{\partial T(r, \varphi, z, t)}{\partial z} \right|_{z=-L} = \\ &= \sigma T^4(r, \varphi, -L, t), \quad \left. \frac{\partial T(r, \varphi, z, t)}{\partial \varphi} \right|_{\varphi=0} = \left. \frac{\partial T(r, \varphi, z, t)}{\partial \varphi} \right|_{\varphi=2\pi}, \quad \left. \frac{\partial v_r(r, \varphi, z, t)}{\partial r} \right|_{r=0} = \left. \frac{\partial v_r(r, \varphi, z, t)}{\partial r} \right|_{r=R}, \\ \left. \frac{\partial v_r(r, \varphi, z, t)}{\partial r} \right|_{r=0} &= \left. \frac{\partial v_r(r, \varphi, z, t)}{\partial r} \right|_{r=R}, \quad \left. \frac{\partial v_\varphi(r, \varphi, z, t)}{\partial \varphi} \right|_{\varphi=0} = \left. \frac{\partial v_\varphi(r, \varphi, z, t)}{\partial \varphi} \right|_{\varphi=2\pi}, \quad T(0, \varphi, z, t) \neq \infty, \\ \left. \frac{\partial v_r(r, \varphi, z, t)}{\partial r} \right|_{r=0} &= \left. \frac{\partial v_r(r, \varphi, z, t)}{\partial r} \right|_{r=R}, \quad \left. \frac{\partial v_\varphi(r, \varphi, z, t)}{\partial \varphi} \right|_{\varphi=0} = \left. \frac{\partial v_\varphi(r, \varphi, z, t)}{\partial \varphi} \right|_{\varphi=2\pi}, \quad T(r, \varphi, z, 0) = T_r, \\ -\lambda \left. \frac{\partial T(r, \varphi, z, t)}{\partial z} \right|_{z=L} &= \sigma T^4(r, \varphi, z, t), \quad v_r(r, \varphi, -L, t) = 0, \quad v_r(r, \varphi, 0, t) = 0, \quad v_z(r, \varphi, -L, 0) = V_0, \end{aligned} \quad (32)$$

$$\begin{aligned} v_r(r, 0, z, t) &= v_r(r, 2\pi, z, t), \quad v_r(0, \varphi, z, t) \neq \infty, \quad v_\varphi(r, \varphi, 0, t) = \omega r, \quad v_\varphi(r, \varphi, -L, t) = 0, \quad v_\varphi(r, \varphi, L, t) = 0, \\ v_\varphi(r, 0, z, t) &= v_\varphi(r, 2\pi, z, t), \quad v_\varphi(0, \varphi, z, t) \neq \infty, \quad v_z(r, \varphi, -L, t) = V_0, \quad v_z(r, \varphi, 0, t) = 0, \quad v_z(r, \varphi, L, t) = 0, \end{aligned}$$

$$v_z(r,0,z,t)=v_z(r,2\pi,z,t), v_z(0,\varphi,z,t)\neq\infty, v_r(r,\varphi,z,0)=0, v_\varphi(r,\varphi,z,0)=0,$$

где  $\sigma = 5,67 \cdot 10^{-8} \text{ Вм} \cdot \text{м}^{-2} \cdot \text{К}^{-4}$ ,  $T_r$  - комнатная температура,  $\omega$  - частота вращения диска. В цилиндрической системе координат уравнения для проекций скорости имеют следующий вид

$$\frac{\partial v_r}{\partial t} = v \left\{ \frac{1}{r} \frac{\partial}{\partial r} \left[ r \frac{\partial v_r(r,\varphi,z,t)}{\partial r} \right] + \frac{1}{r^2} \frac{\partial^2 v_r(r,\varphi,z,t)}{\partial \varphi^2} + \frac{\partial^2 v_r(r,\varphi,z,t)}{\partial z^2} \right\} - v_r \frac{\partial v_r}{\partial r} - \frac{v_\varphi}{r} \frac{\partial v_\varphi}{\partial \varphi} - v_z \frac{\partial v_z}{\partial z} - \frac{\partial}{\partial r} \left( \frac{P}{\rho} \right) \quad (32a)$$

$$\frac{\partial v_\varphi}{\partial t} = v \left\{ \frac{1}{r} \frac{\partial}{\partial r} \left[ r \frac{\partial v_\varphi(r,\varphi,z,t)}{\partial r} \right] + \frac{1}{r^2} \frac{\partial^2 v_\varphi(r,\varphi,z,t)}{\partial \varphi^2} + \frac{\partial^2 v_\varphi(r,\varphi,z,t)}{\partial z^2} \right\} - v_r \frac{\partial v_r}{\partial r} - \frac{v_\varphi}{r} \frac{\partial v_\varphi}{\partial \varphi} - v_z \frac{\partial v_z}{\partial z} - \frac{1}{r} \frac{\partial}{\partial \varphi} \left( \frac{P}{\rho} \right) \quad (32b)$$

$$\frac{\partial v_z}{\partial t} = v \left\{ \frac{1}{r} \frac{\partial}{\partial r} \left[ r \frac{\partial v_z(r,\varphi,z,t)}{\partial r} \right] + \frac{1}{r^2} \frac{\partial^2 v_z(r,\varphi,z,t)}{\partial \varphi^2} + \frac{\partial^2 v_z(r,\varphi,z,t)}{\partial z^2} \right\} - v_r \frac{\partial v_r}{\partial r} - \frac{v_\varphi}{r} \frac{\partial v_\varphi}{\partial \varphi} - v_z \frac{\partial v_z}{\partial z} - \frac{\partial}{\partial z} \left( \frac{P}{\rho} \right). \quad (32c)$$

Найдем решение данной системы уравнений с помощью метода осреднения функциональных поправок [20-22]. В рамках данного метода для определения первого приближения проекций скорости потока газовой смеси заменим их на пока неизвестные средние значения  $v_r \rightarrow \alpha_{1r}$ ,  $v_\varphi \rightarrow \alpha_{1\varphi}$ ,  $v_z \rightarrow \alpha_{1z}$  в правой части уравнений системы (32). После такой подстановки получаем уравнения для первых приближений искомых компонент в следующей форме

$$\frac{\partial v_{1r}}{\partial t} = -\frac{\partial}{\partial r} \left( \frac{P}{\rho} \right), \quad \frac{\partial v_{1\varphi}}{\partial t} = -\frac{1}{r} \frac{\partial}{\partial \varphi} \left( \frac{P}{\rho} \right), \quad \frac{\partial v_{1z}}{\partial t} = -\frac{\partial}{\partial z} \left( \frac{P}{\rho} \right). \quad (33)$$

Решения данных уравнений имеет следующий вид

$$v_{1r} = -\frac{\partial}{\partial r} \int_0^t \frac{P}{\rho} d\tau, \quad v_{1\varphi} = -\frac{1}{r} \frac{\partial}{\partial \varphi} \int_0^t \frac{P}{\rho} d\tau, \quad v_{1z} = -\frac{\partial}{\partial z} \int_0^t \frac{P}{\rho} d\tau. \quad (34)$$

Второе приближение проекций скорости может быть получено заменой искомых проекций в правой части уравнений системы (32) на суммы  $v_r \rightarrow \alpha_{2r} + v_{1r}$ ,  $v_\varphi \rightarrow \alpha_{2\varphi} + v_{1\varphi}$ ,  $v_z \rightarrow \alpha_{2z} + v_{1z}$ . Уравнения для данных проекций имеют вид

$$\frac{\partial v_{2r}}{\partial t} = v \left[ \frac{1}{r} \frac{\partial}{\partial r} \left( r \frac{\partial v_{1r}}{\partial r} \right) + \frac{1}{r^2} \frac{\partial^2 v_{1r}}{\partial \varphi^2} + \frac{\partial^2 v_{1r}}{\partial z^2} \right] - \frac{\partial}{\partial r} \left( \frac{P}{\rho} \right) -$$

$$-(\alpha_{2r} + v_{1r}) \frac{\partial v_{1r}}{\partial r} - \frac{(\alpha_{2\varphi} + v_{1\varphi})}{r} \frac{\partial v_{1r}}{\partial \varphi} - (\alpha_{2z} + v_{1z}) \frac{\partial v_{1r}}{\partial z}, \quad (35a)$$

$$\begin{aligned} \frac{\partial v_{2\varphi}}{\partial t} = v \left[ \frac{1}{r} \frac{\partial}{\partial r} \left( r \frac{\partial v_{1\varphi}}{\partial r} \right) + \frac{1}{r^2} \frac{\partial^2 v_{1\varphi}}{\partial \varphi^2} + \frac{\partial^2 v_{1\varphi}}{\partial z^2} \right] - \frac{1}{r} \frac{\partial}{\partial \varphi} \left( \frac{P}{\rho} \right) - \\ - (\alpha_{2r} + v_{1r}) \frac{\partial v_{1\varphi}}{\partial r} - \frac{(\alpha_{2\varphi} + v_{1\varphi})}{r} \frac{\partial v_{1\varphi}}{\partial \varphi} - (\alpha_{2z} + v_{1z}) \frac{\partial v_{1\varphi}}{\partial z}, \quad (35b) \end{aligned}$$

$$\begin{aligned} \frac{\partial v_{2z}}{\partial t} = v \left[ \frac{1}{r} \frac{\partial}{\partial r} \left( r \frac{\partial v_{1z}}{\partial r} \right) + \frac{1}{r^2} \frac{\partial^2 v_{1z}}{\partial \varphi^2} + \frac{\partial^2 v_{1z}}{\partial z^2} \right] - \frac{\partial}{\partial z} \left( \frac{P}{\rho} \right) - \\ - (\alpha_{2r} + v_{1r}) \frac{\partial v_{1z}}{\partial r} - \frac{(\alpha_{2\varphi} + v_{1\varphi})}{r} \frac{\partial v_{1z}}{\partial \varphi} - (\alpha_{2z} + v_{1z}) \frac{\partial v_{1z}}{\partial z}. \quad (35b) \end{aligned}$$

Интегрирование данных уравнений приводит к следующему результату

$$\begin{aligned} v_{2r} = v \int_0^t \left[ \frac{1}{r} \frac{\partial}{\partial r} \left( r \frac{\partial v_{1r}}{\partial r} \right) + \frac{1}{r^2} \frac{\partial^2 v_{1r}}{\partial \varphi^2} + \frac{\partial^2 v_{1r}}{\partial z^2} \right] d\tau - \frac{\partial}{\partial r} \left( \int_0^t \frac{P}{\rho} d\tau \right) - \\ - \int_0^t (\alpha_{2r} + v_{1r}) \frac{\partial v_{1r}}{\partial r} d\tau - \int_0^t \frac{(\alpha_{2\varphi} + v_{1\varphi})}{r} \frac{\partial v_{1r}}{\partial \varphi} d\tau - \int_0^t (\alpha_{2z} + v_{1z}) \frac{\partial v_{1r}}{\partial z} d\tau, \quad (35c) \end{aligned}$$

$$\begin{aligned} v_{2\varphi} = v \int_0^t \left[ \frac{1}{r} \frac{\partial}{\partial r} \left( r \frac{\partial v_{1\varphi}}{\partial r} \right) + \frac{1}{r^2} \frac{\partial^2 v_{1\varphi}}{\partial \varphi^2} + \frac{\partial^2 v_{1\varphi}}{\partial z^2} \right] d\tau - \frac{1}{r} \frac{\partial}{\partial \varphi} \left( \int_0^t \frac{P}{\rho} d\tau \right) - \\ - \int_0^t (\alpha_{2r} + v_{1r}) \frac{\partial v_{1\varphi}}{\partial r} d\tau - \int_0^t \frac{(\alpha_{2\varphi} + v_{1\varphi})}{r} \frac{\partial v_{1\varphi}}{\partial \varphi} d\tau - \int_0^t (\alpha_{2z} + v_{1z}) \frac{\partial v_{1\varphi}}{\partial z} d\tau, \quad (35d) \end{aligned}$$

$$\begin{aligned} v_{2z} = V_0 + v \int_0^t \left[ \frac{1}{r} \frac{\partial}{\partial r} \left( r \frac{\partial v_{1z}}{\partial r} \right) + \frac{1}{r^2} \frac{\partial^2 v_{1z}}{\partial \varphi^2} + \frac{\partial^2 v_{1z}}{\partial z^2} \right] d\tau - \frac{\partial}{\partial z} \left( \int_0^t \frac{P}{\rho} d\tau \right) - \\ - \int_0^t (\alpha_{2r} + v_{1r}) \frac{\partial v_{1z}}{\partial r} d\tau - \int_0^t \frac{(\alpha_{2\varphi} + v_{1\varphi})}{r} \frac{\partial v_{1z}}{\partial \varphi} d\tau - \int_0^t (\alpha_{2z} + v_{1z}) \frac{\partial v_{1z}}{\partial z} d\tau. \quad (35e) \end{aligned}$$

Средние значения  $\alpha_{2r}$ ,  $\alpha_{2\varphi}$ ,  $\alpha_{2z}$  определим с помощью стандартного соотношения

$$\begin{aligned} \alpha_{2r} &= \frac{1}{\pi \Theta R^2 L} \int_0^R \int_0^{2\pi} \int_{-L}^L (v_{2r} - v_{1r}) dz d\varphi dr dt, \\ \alpha_{2\varphi} &= \frac{1}{\pi \Theta R^2 L} \int_0^R \int_0^{2\pi} \int_{-L}^L (v_{2\varphi} - v_{1\varphi}) dz d\varphi dr dt, \\ \alpha_{2z} &= \frac{1}{\pi \Theta R^2 L} \int_0^R \int_0^{2\pi} \int_{-L}^L (v_{2z} - v_{1z}) dz d\varphi dr dt, \quad (36) \end{aligned}$$

где  $\Theta$  - длительность протекания смеси газов. Подстановка первых двух приближений проекций скорости в соотношения (36) позволяет получить систему уравнений для искомым средних значений

$$\begin{cases} A_1\alpha_{2r} + B_1\alpha_{2\varphi} + C_1\alpha_{2z} = D_1 \\ A_2\alpha_{2r} + B_2\alpha_{2\varphi} + C_2\alpha_{2z} = D_2 \\ A_3\alpha_{2r} + B_3\alpha_{2\varphi} + C_3\alpha_{2z} = D_3 \end{cases} \quad (37)$$

$$\begin{aligned} \text{где } A_1 &= 1 + \int_0^\Theta (\Theta - t) \int_0^R r \int_{0-L}^{2\pi L} \frac{\partial v_{1r}}{\partial r} dz d\varphi dr dt, \quad B_1 = \int_0^\Theta (\Theta - t) \int_0^R r \int_{0-L}^{2\pi L} \frac{\partial v_{1r}}{\partial \varphi} dz d\varphi dr dt, \quad C_1 = \\ &= C_2 = \frac{\pi}{2} \Theta^2 R^2 V_0, \quad D_1 = v \int_0^\Theta (\Theta - t) \int_0^R r \int_{0-L}^{2\pi L} \left[ \frac{1}{r} \frac{\partial}{\partial r} \left( r \frac{\partial v_{1r}}{\partial r} \right) + \frac{1}{r^2} \frac{\partial^2 v_{1r}}{\partial \varphi^2} + \frac{\partial^2 v_{1r}}{\partial z^2} \right] dz d\varphi dr dt - \\ &- \frac{\pi}{8} \Theta^2 R^2 V_0^2 - \int_0^\Theta (\Theta - t) \int_0^R r \int_{0-L}^{2\pi L} v_{1r} \frac{\partial v_{1r}}{\partial r} dz d\varphi dr dt - \int_0^\Theta (\Theta - t) \int_0^R r \int_{0-L}^{2\pi L} v_{1\varphi} \frac{\partial v_{1r}}{\partial \varphi} dz d\varphi dr dt, \\ A_2 &= \int_0^\Theta (\Theta - t) \int_0^R r \int_{0-L}^{2\pi L} \frac{\partial v_{1r}}{\partial r} dz d\varphi dr dt, \quad B_2 = 1 + \int_0^\Theta (\Theta - t) \int_0^R r \int_{0-L}^{2\pi L} \frac{\partial v_{1r}}{\partial \varphi} dz d\varphi dr dt, \quad D_2 = v \times \\ &\times \int_0^\Theta (\Theta - t) \int_0^R r \int_{0-L}^{2\pi L} \left[ \frac{1}{r} \frac{\partial}{\partial r} \left( r \frac{\partial v_{1\varphi}}{\partial r} \right) + \frac{1}{r^2} \frac{\partial^2 v_{1\varphi}}{\partial \varphi^2} + \frac{\partial^2 v_{1\varphi}}{\partial z^2} \right] dz d\varphi dr dt - \int_0^\Theta \int_0^R r \int_{0-L}^{2\pi L} v_{1r} \frac{\partial v_{1r}}{\partial r} dz d\varphi \times \\ &\times r dr (\Theta - t) dt - \int_0^\Theta (\Theta - t) \int_0^R r \int_{0-L}^{2\pi L} v_{1\varphi} \frac{\partial v_{1r}}{\partial \varphi} dz d\varphi dr dt - \frac{\pi}{8} \Theta^2 R^2 V_0^2, \quad A_3 = \int_0^\Theta (\Theta - t) \int_0^R r \times \\ &\times \int_{0-L}^{2\pi L} \frac{\partial v_{1z}}{\partial r} dz d\varphi dr dt, \quad B_3 = \int_0^\Theta (\Theta - t) \int_0^R r \int_{0-L}^{2\pi L} \frac{\partial v_{1z}}{\partial \varphi} dz d\varphi dr dt, \quad C_3 = 1 + \frac{\pi}{2} \Theta^2 R^2 V_0, \quad D_3 = v \times \\ &\times \int_0^\Theta (\Theta - t) \int_0^R r \int_{0-L}^{2\pi L} \left( \frac{\partial^2 v_{1r}}{\partial z^2} + \frac{\partial^2 v_{1z}}{\partial r^2} + \frac{1}{r^2} \frac{\partial^2 v_{1z}}{\partial \varphi^2} \right) dz d\varphi dr dt - \int_0^\Theta \int_0^R r \int_{0-L}^{2\pi L} v_{1r} \frac{\partial v_{1z}}{\partial r} dz d\varphi dr \times \\ &\times (\Theta - t) dt - \int_0^\Theta (\Theta - t) \int_0^R r \int_{0-L}^{2\pi L} v_{1\varphi} \frac{\partial v_{1z}}{\partial \varphi} dz d\varphi dr dt - \frac{\pi}{8} \Theta^2 R^2 V_0^2. \end{aligned}$$

Решение данной системы определяются стандартными методами [17] и представимо в следующей форме

$$\alpha_{2r} = \Delta_r / \Delta, \quad \alpha_{2\varphi} = \Delta_\varphi / \Delta, \quad \alpha_{2z} = \Delta_z / \Delta, \quad (38)$$

где  $\Delta = A_1(B_2C_3 - B_3C_2) - B_1(A_2C_3 - A_3C_2) + C_1(A_2B_3 - A_3B_2)$ ,  $\Delta_r = D_1(B_2C_3 - B_3C_2) - B_1(D_2C_3 - D_3C_2) + C_1(D_2B_3 - D_3B_2)$ ,  $\Delta_\varphi = A_1(D_2C_3 - D_3C_2) - D_1(A_2C_3 - A_3C_2) + C_1(A_2D_3 - A_3D_2)$ ,  $\Delta_z = A_1(B_2D_3 - B_3D_2) - B_1(A_2D_3 - A_3D_2) + D_1(A_2B_3 - A_3B_2)$ .

В данном разделе получены проекции скорости потока смеси находящихся в газовой фазе веществ во втором приближении по методу осреднения функциональных поправок. Обычно второго приближения достаточно для проведения качественного анализа полученного решения и проведения некоторых количественных оценок. Запишем уравнения (30) и (31) в цилиндрической системе координат

$$\begin{aligned}
c \frac{\partial T(r, \varphi, z, t)}{\partial t} &= \lambda \frac{\partial^2 T(r, \varphi, z, t)}{\partial r^2} + \lambda \frac{1}{r^2} \frac{\partial^2 T(r, \varphi, z, t)}{\partial \varphi^2} + \lambda \frac{\partial^2 T(r, \varphi, z, t)}{\partial z^2} - \\
- c \cdot \frac{\partial}{\partial r} [v_r(r, \varphi, z, t) \cdot C(r, \varphi, z, t) \cdot T(r, \varphi, z, t)] &- \frac{c}{r} \frac{\partial}{\partial \varphi} [v_\varphi(r, \varphi, z, t) \cdot C(r, \varphi, z, t) \cdot \\
\cdot T(r, \varphi, z, t)] &- c \cdot \frac{\partial}{\partial z} [v_z(r, \varphi, z, t) \cdot C(r, \varphi, z, t) \cdot T(r, \varphi, z, t)] + p(r, \varphi, z, t), \quad (39)
\end{aligned}$$

$$\begin{aligned}
\frac{\partial C(r, \varphi, z, t)}{\partial t} &= \frac{1}{r} \frac{\partial}{\partial r} \left[ r D \frac{\partial C(r, \varphi, z, t)}{\partial r} \right] + \frac{1}{r^2} \frac{\partial}{\partial \varphi} \left[ D \frac{\partial C(r, \varphi, z, t)}{\partial \varphi} \right] + \\
+ \frac{\partial}{\partial z} \left[ D \frac{\partial C(r, \varphi, z, t)}{\partial z} \right] &- \frac{1}{r} \frac{\partial}{\partial r} [r C(r, \varphi, z, t) v_r(r, \varphi, z, t)] - \\
- \frac{1}{r} \frac{\partial}{\partial \varphi} [C(r, \varphi, z, t) v_\varphi(r, \varphi, z, t)] &- \frac{\partial}{\partial z} [C(r, \varphi, z, t) v_z(r, \varphi, z, t)]. \quad (40)
\end{aligned}$$

Для определения пространственно-временного распределения температуры и концентрации газовой смеси воспользуемся методом осреднения функциональных поправок. Для определения первых приближений искомым функций заменим их на пока неизвестные средние значения  $\alpha_{1T}$  и  $\alpha_{1C}$  в правых частях данных уравнений. Используя рассмотренный выше алгоритм получим соотношения для первых приближений температуры и концентрации смеси газов в следующей форме

$$\begin{aligned}
T_1(r, \varphi, z, t) &= T_r + \int_0^t \frac{p(r, \varphi, z, \tau)}{c} d\tau - \alpha_{1T} \alpha_{1C} \int_0^t \frac{\partial v_r(r, \varphi, z, \tau)}{\partial r} d\tau - \\
&- \frac{\alpha_{1T} \alpha_{1C}}{r} \int_0^t \frac{\partial v_\varphi(r, \varphi, z, \tau)}{\partial \varphi} d\tau - \alpha_{1T} \alpha_{1C} \int_0^t \frac{\partial v_z(r, \varphi, z, \tau)}{\partial z} d\tau, \quad (41)
\end{aligned}$$

$$\begin{aligned}
C_1(r, \varphi, z, t) &= - \frac{\alpha_{1C}}{r} \int_0^t \frac{\partial [r v_r(r, \varphi, z, \tau)]}{\partial r} d\tau - \\
&- \frac{\alpha_{1C}}{r} \int_0^t \frac{\partial v_\varphi(r, \varphi, z, \tau)}{\partial \varphi} d\tau - \alpha_{1C} \int_0^t \frac{\partial v_z(r, \varphi, z, \tau)}{\partial z} d\tau + C_0. \quad (42)
\end{aligned}$$

Определим неизвестные средние значения первых приближений искомым функций с помощью следующих соотношений

$$\begin{aligned}
\alpha_{1T} &= \frac{1}{\pi \Theta R^2 L} \int_0^\Theta \int_0^{2\pi L} \int_0^R T_1(r, \varphi, z, \tau) dz d\varphi dr dt, \\
\alpha_{1C} &= \frac{1}{\pi \Theta R^2 L} \int_0^\Theta \int_0^{2\pi L} \int_0^R C_1(r, \varphi, z, \tau) dz d\varphi dr dt. \quad (43)
\end{aligned}$$

Подстановка первых приближений концентрации и температуры в соотношения (43) позволяет получить следующий результат

$$\alpha_{1C} = C_0 / L \cdot \left[ 1 + \frac{1}{\pi \Theta R L_0} \int_0^\Theta (\Theta - t) \int_0^{2\pi} \int_{-L}^L v_r(R, \varphi, z, t) dz d\varphi dt + \frac{\Theta V_0}{RL} \right],$$

$$\alpha_{1T} = \left[ T_r + \frac{1}{\pi \Theta R^2 L_0} \int_0^\Theta (\Theta - t) \int_0^R r \int_0^{2\pi} \int_{-L}^L \frac{p(r, \varphi, z, t)}{c} dz d\varphi dr dt \right] \left\{ 1 + \frac{C_0}{\pi \Theta R L^2} \left[ \int_0^\Theta (\Theta - t) \times \right. \right.$$

$$\times \int_0^{2\pi} \int_{-L}^L v_r(R, \varphi, z, \tau) dz d\varphi dt - \frac{1}{\pi \Theta R^2} \int_0^\Theta (\Theta - t) \int_0^R r \int_0^{2\pi} \int_{-L}^L v_r(r, \varphi, z, \tau) dz d\varphi dr dt + \frac{V_0}{2} \left. \right] \times$$

$$\times \left[ 1 + \frac{\Theta V_0}{RL} + \frac{1}{\pi \Theta R L_0} \int_0^\Theta (\Theta - t) \int_0^{2\pi} \int_{-L}^L v_r(R, \varphi, z, t) dz d\varphi dt \right]^{-1} \left. \right\}.$$

Вторые приближения температуры и концентрации смеси газов определяются в рамках стандартной процедуры метода осреднения функциональных поправок [20-22], т.е. с помощью замены искоемых функций в правых частях уравнений (39) и (40) на следующие суммы  $T \rightarrow \alpha_{2T} + T_1$ ,  $C \rightarrow \alpha_{2C} + C_1$ . В данном случае вторые приближения искоемых функций представимы в следующей форме

$$c \cdot T_2(r, \varphi, z, t) = \lambda \int_0^t \frac{\partial^2 T_1(r, \varphi, z, \tau)}{\partial r^2} d\tau + \lambda \frac{1}{r^2} \int_0^t \frac{\partial^2 T_1(r, \varphi, z, \tau)}{\partial \varphi^2} d\tau + \lambda \int_0^t \frac{\partial^2 T_1(r, \varphi, z, \tau)}{\partial z^2} d\tau +$$

$$+ \int_0^t p(r, \varphi, z, \tau) d\tau + T_r - c \cdot \frac{\partial}{\partial r_0} \int_0^t \{ v_r(r, \varphi, z, \tau) \cdot [\alpha_{2C} + C_1(r, \varphi, z, \tau)] \cdot [\alpha_{2T} + T_1(r, \varphi, z, \tau)] \} d\tau -$$

$$- \frac{c}{r} \frac{\partial}{\partial \varphi_0} \int_0^t \{ [\alpha_{2C} + C_1(r, \varphi, z, \tau)] \cdot v_\varphi(r, \varphi, z, \tau) \cdot [\alpha_{2T} + T_1(r, \varphi, z, \tau)] \} d\tau -$$

$$- c \cdot \frac{\partial}{\partial z_0} \int_0^t \{ v_z(r, \varphi, z, \tau) \cdot [\alpha_{2C} + C_1(r, \varphi, z, \tau)] \cdot [\alpha_{2T} + T_1(r, \varphi, z, \tau)] \} d\tau, \quad (44)$$

$$C_2(r, \varphi, z, t) = \frac{1}{r} \frac{\partial}{\partial r_0} \int_0^t r D \frac{\partial C_1(r, \varphi, z, \tau)}{\partial r} d\tau + \frac{1}{r^2} \frac{\partial}{\partial \varphi_0} \int_0^t D \frac{\partial C_1(r, \varphi, z, \tau)}{\partial \varphi} d\tau +$$

$$+ \frac{\partial}{\partial z_0} \int_0^t D \frac{\partial C_1(r, \varphi, z, \tau)}{\partial z} d\tau - \frac{1}{r} \frac{\partial}{\partial r} \left\{ r \int_0^t [\alpha_{2C} + C_1(r, \varphi, z, \tau)] \cdot v_r(r, \varphi, z, \tau) d\tau \right\} -$$

$$- \frac{1}{r} \frac{\partial}{\partial \varphi_0} \int_0^t [\alpha_{2C} + C_1(r, \varphi, z, \tau)] \cdot v_\varphi(r, \varphi, z, \tau) d\tau -$$

$$- \frac{\partial}{\partial z_0} \int_0^t [\alpha_{2C} + C_1(r, \varphi, z, \tau)] \cdot v_z(r, \varphi, z, \tau) d\tau + C_0 \delta(z + L). \quad (45)$$

Средние значения вторых приближений температуры и концентрации смеси  $\alpha_{2T}$  и  $\alpha_{2C}$  определяются с помощью стандартных соотношений

$$\alpha_{2T} = \frac{1}{\pi \Theta R^2 L} \int_0^{\Theta} \int_0^R \int_0^{2\pi} \int_0^L (T_2 - T_1) dz d\varphi dr dt,$$

$$\alpha_{2C} = \frac{1}{\pi \Theta R^2 L} \int_0^{\Theta} \int_0^R \int_0^{2\pi} \int_0^L (C_2 - C_1) dz d\varphi dr dt. \quad (46)$$

Подстановка первых двух приближений температуры и концентрации в соотношения (46) позволяет получить уравнения для искомым средних значений в следующей форме

$$\begin{aligned} \alpha_{2T} = & \left( \frac{\lambda \sigma}{c \pi \Theta R L} \int_0^{\Theta} (\Theta - t) \int_0^{2\pi} \int_0^L T^4(R, \varphi, z, t) dz d\varphi dt - \int_0^{\Theta} (\Theta - t) \int_0^{2\pi} \int_0^L T_1(R, \varphi, z, t) dz d\varphi dt \times \right. \\ & \times \frac{\lambda}{c \pi \Theta R^2 L} + \frac{\lambda}{c \pi \Theta R^2 L} \int_0^{\Theta} (\Theta - t) \int_0^{2\pi} \int_0^L T_1(0, \varphi, z, t) dz d\varphi dt - \int_0^{\Theta} \int_0^{2\pi} \int_0^L \{ [\alpha_{2C} + C_1(R, \varphi, z, t)] \times \\ & \times T_1(R, \varphi, z, t) - \alpha_{1T} \alpha_{1C} \} v_r(R, \varphi, z, t) dz d\varphi (\Theta - t) dt \frac{1}{\pi \Theta R L} - \frac{1}{\pi \Theta R^2 L} \int_0^{\Theta} (\Theta - t) \times \\ & \times \int_0^R \int_0^{2\pi} \int_0^L \{ T_1(r, \varphi, z, t) [\alpha_{2C} + C_1(r, \varphi, z, t)] - \alpha_{1T} \alpha_{1C} \} v_r(r, \varphi, z, \tau) dz d\varphi r dr dt - \frac{V_0}{\pi \Theta R^2 L} \times \\ & \times \int_0^{\Theta} (\Theta - t) \int_0^R \int_0^{2\pi} \{ [\alpha_{2C} + C_0] \cdot T_1(r, \varphi, L, t) - \alpha_{1T} \alpha_{1C} \} d\varphi dr dt \left\{ 1 + \frac{1}{\pi \Theta R L} \int_0^{\Theta} (\Theta - t) \int_0^{2\pi} \int_0^L [\alpha_{2C} + \right. \\ & \left. + C_1(R, \varphi, z, t)] v_r(R, \varphi, z, t) dz d\varphi dt + 2V_0(\alpha_{2C} + C_0) \frac{\Theta}{L} - \frac{1}{\pi \Theta R^2 L} \int_0^{\Theta} (\Theta - t) \int_0^R r \times \right. \\ & \left. \times \int_0^{2\pi} \int_0^L v_r(r, \varphi, z, \tau) \cdot [\alpha_{2C} + C_1(r, \varphi, z, t)] dz d\varphi dr dt \right\}^{-1}, \\ \alpha_{2C} = & \frac{1}{\pi \Theta R^2 L} \int_0^{\Theta} (\Theta - t) \int_0^R \int_0^{2\pi} D \left[ \frac{\partial C_1(r, \varphi, z, \tau)}{\partial z} \Big|_{z=L} - \frac{\partial C_1(r, \varphi, z, \tau)}{\partial z} \Big|_{z=-L} \right] d\varphi dr dt - \\ & - \frac{1}{\pi \Theta R^2 L} \int_0^{\Theta} (\Theta - t) \int_0^{2\pi} \int_0^L \{ r [\alpha_{2C} - \alpha_{1C} + C_1(R, \varphi, z, \tau)] \cdot v_r(R, \varphi, z, \tau) \} dz d\varphi dt - \frac{V_0}{\pi \Theta R^2 L} \times \\ & \times \int_0^{\Theta} (\Theta - t) \int_0^R \int_0^{2\pi} (\alpha_{2C} - \alpha_{1C} + C_0) dz d\varphi dr dt. \end{aligned}$$

#### 4. Волновые процессы

В настоящее время имеется значительное количество физических и технических приложений, в рамках которых необходимо проводить моделирование электромагнитных или акустических волновых процессов. Уравнение, описывающее волновые процессы, представимо в следующей форме

$$\frac{\partial^2 u(x, t)}{\partial t^2} = \frac{\partial}{\partial x} \left[ E \frac{\partial u(x, t)}{\partial x} \right]. \quad (47)$$



Оно может быть решено рассмотренными выше методами. Однако существует специфический метод, применяемый для решения волновых процессов и называемый “Метод бегущих волн”. Он и будет рассмотрен в данном разделе. Для этого рассмотрим волновое уравнение (47) с постоянным коэффициентом  $E$  в неограниченной области  $-\infty \leq x \leq \infty$  с начальными условиями

$$u(x,0)=\chi_1(x), \left. \frac{\partial u(x,t)}{\partial t} \right|_{t=0} = \chi_2(t).$$

Введём новые переменные  $\xi = x + \sqrt{E}t$  и  $\eta = x - \sqrt{E}t$ . Подставим данные переменные в (47). Тогда после однократного дифференцирования по исходным переменным  $x$  и  $t$  получаем

$$\frac{\partial}{\partial t} \left[ \sqrt{E} \frac{\partial u(\xi, \eta)}{\partial \xi} - \sqrt{E} \frac{\partial u(\xi, \eta)}{\partial \eta} \right] = E \frac{\partial}{\partial x} \left[ \frac{\partial u(\xi, \eta)}{\partial \xi} + \frac{\partial u(\xi, \eta)}{\partial \eta} \right].$$

Повторное дифференцирование левой и правой частей данного соотношения по переменным  $x$  и  $t$  приводит уравнение (47) к следующему виду

$$\begin{aligned} E \frac{\partial^2 u(\xi, \eta)}{\partial \xi^2} - E \frac{\partial^2 u(\xi, \eta)}{\partial \eta \partial \xi} - E \frac{\partial^2 u(\xi, \eta)}{\partial \xi \partial \eta} + E \frac{\partial^2 u(\xi, \eta)}{\partial \eta^2} = \\ = E \left[ \frac{\partial^2 u(\xi, \eta)}{\partial \xi^2} + \frac{\partial^2 u(\xi, \eta)}{\partial \xi \partial \eta} + \frac{\partial^2 u(\xi, \eta)}{\partial \eta \partial \xi} + \frac{\partial^2 u(\xi, \eta)}{\partial \eta^2} \right]. \end{aligned}$$

Приведение подобных в данном уравнении позволяет получить уравнение (47) в новых переменных в следующем виде

$$\frac{\partial^2 u(\xi, \eta)}{\partial \xi \partial \eta} = 0. \quad (47a)$$

Далее проинтегрируем уравнение (47a) по переменной  $\xi$ , что приводит к следующему результату

$$\frac{\partial u(\xi, \eta)}{\partial \eta} = f(\eta).$$

Интегрируя данное соотношение по переменной  $\eta$  при фиксированном значении переменной  $\xi$ , получаем

$$u(\xi, \eta) = \int_0^{\eta} f(v) dv + f_1(\xi).$$

Введём обозначение  $f_2(\eta) = \int_0^{\eta} f(v) dv$ . Тогда

$$u(\xi, \eta) = f_1(\xi) + f_2(\eta).$$

Данная функция является общим интегралом уравнения (47a). Тогда и функция

$$u(x,t) = f_1(x + \sqrt{E}t) + f_2(x - \sqrt{E}t) \quad (48)$$

также является интегралом соответствующего волнового уравнения в исходных переменных. Для определения функций  $f_1(x + \sqrt{E}t)$  и  $f_2(x - \sqrt{E}t)$  воспользуемся начальными условиями. Найдём производную по переменной  $t$  от решения (48)

$$\frac{\partial u(x,t)}{\partial t} = \sqrt{E} \frac{d f_1(x + \sqrt{E}t)}{d(x + \sqrt{E}t)} - \sqrt{E} \frac{d f_2(x - \sqrt{E}t)}{d(x - \sqrt{E}t)}.$$

Далее и в решении (48), и в его производной выберем нулевое значение переменной  $t$ , т.е.

$$\begin{cases} f_1(x) + f_2(x) = \chi_1(x) \\ \left. \sqrt{E} \frac{d f_1(x + \sqrt{E}t)}{d(x + \sqrt{E}t)} \right|_{t=0} - \left. \sqrt{E} \frac{d f_2(x - \sqrt{E}t)}{d(x - \sqrt{E}t)} \right|_{t=0} = \chi_2(x). \end{cases} \quad (49)$$

Интегрирование второго уравнения системы (49) приводит к следующему результату

$$f_1(x) - f_2(x) = \frac{1}{\sqrt{E}} \int_{x_0}^x \chi_2(v) dv + C,$$

где  $x_0$  и  $C$  - постоянные величины. Из последнего уравнения, а также первого уравнения системы (49) можно получить

$$f_1(x) = \frac{1}{2} \chi_1(x) + \frac{1}{2\sqrt{E}} \int_{x_0}^x \chi_2(v) dv + \frac{C}{2}, \quad f_2(x) = \frac{1}{2} \chi_1(x) - \frac{1}{2\sqrt{E}} \int_{x_0}^x \chi_2(v) dv - \frac{C}{2}.$$

С учётом полученных соотношений искомая функция  $u(x,t)$  принимает вид

$$u(x,t) = \frac{1}{2} [\chi_1(x + \sqrt{E}t) + \chi_2(x - \sqrt{E}t)] + \frac{1}{2\sqrt{E}} \left[ \int_{x_0}^{x+\sqrt{E}t} \chi_2(v) dv - \int_{x_0}^{x-\sqrt{E}t} \chi_2(v) dv \right].$$

Пользуясь свойством определённых интегралов, окончательно получаем

$$u(x,t) = \frac{1}{2} [\chi_1(x + \sqrt{E}t) + \chi_2(x - \sqrt{E}t)] + \frac{1}{2\sqrt{E}} \int_{x-\sqrt{E}t}^{x+\sqrt{E}t} \chi_2(v) dv. \quad (50)$$

Соотношение (50) называется формулой Даламбера.

## 5. Процессы электропередачи

### 5.1. Процессы в длинных линиях

В цепях с сосредоточенными параметрами переходные процессы протекают одновременно во всех направлениях цепи с одинаковой скоростью затухания. В цепях с распределёнными параметрами переходной процесс, начавшийся в какой-либо точке цепи, распространяется на остальные элементы в виде волн, которые распространяются вдоль цепи с конечной скоростью  $v$ . Эта скорость близка к скорости света  $c = 3 \cdot 10^5$  км/с в воздушных линиях и  $v < c$  для кабельных линий. По мере распространения вдоль линии волна изменяет свою

форму, поэтому переходной процесс в разных точках линии выглядит по-разному. Таким образом, переходной процесс в цепи с распределенными параметрами протекает в функции двух переменных - пространства и время.

В высоковольтных линиях электропередачи переходные процессы возникают при различных коммутациях, а так же от грозовых явлений в атмосфере. При переходном процессе на отдельных участках линии могут возникнуть перенапряжения, нередко приводящие к пробое изоляции, или большие токи, вызывающие механические разрушения конструкций. Умение рассчитывать эти перенапряжения и сверхтоки необходимы в инженерной практике для правильного выбора и расчета отдельных частей электроустановок.

Анализ переходных процессов в линии с распределёнными параметрами проводится на основе решения ее дифференциальных уравнений, полученных ранее

$$-\frac{\partial u(x,t)}{\partial x} = Ri(x,t) + L\frac{\partial i(x,t)}{\partial x}, \quad -\frac{\partial i(x,t)}{\partial x} = Gu(x,t) + C\frac{\partial u(x,t)}{\partial x},$$

где  $u(x,t)$  и  $i(x,t)$  - напряжение и сила тока в линии,  $R$  - сопротивление линии,  $G$  - проводимость линии,  $L$  и  $C$  - индуктивность и ёмкость системы. Данные уравнения могут быть решены стандартными методами [23].

Рассмотрим данные уравнения без учёта потерь, т.е. при  $R=0$  и  $G=0$ . В этом случае предыдущая система уравнений принимает следующий вид

$$-\frac{\partial u(x,t)}{\partial x} = L\frac{\partial i(x,t)}{\partial x}, \quad -\frac{\partial i(x,t)}{\partial x} = C\frac{\partial u(x,t)}{\partial x}.$$

Выполним решение этой системы дифференциальных уравнений, для чего каждое из уравнений продифференцируем сначала по переменной  $x$ , а потом по переменной  $t$

$$\begin{aligned} -\frac{\partial^2 u(x,t)}{\partial x^2} &= L\frac{\partial^2 i(x,t)}{\partial x \partial t}, & -\frac{\partial^2 i(x,t)}{\partial x \partial t} &= C\frac{\partial^2 u(x,t)}{\partial t^2}, \\ -\frac{\partial^2 u(x,t)}{\partial x^2} &= L\frac{\partial^2 i(x,t)}{\partial x \partial t}, & -\frac{\partial^2 i(x,t)}{\partial x \partial t} &= C\frac{\partial^2 u(x,t)}{\partial t^2}. \end{aligned}$$

Совместное решение каждой пары полученных уравнений дает результат

$$\frac{\partial^2 u(x,t)}{\partial x^2} - LC\frac{\partial^2 u(x,t)}{\partial t^2} = 0, \quad \frac{\partial^2 i(x,t)}{\partial x^2} - LC\frac{\partial^2 i(x,t)}{\partial t^2} = 0.$$

Введем обозначение  $v = 1/\sqrt{LC}$  - скорость волны, после чего уравнения принимают вид [16]

$$\frac{\partial^2 u(x,t)}{\partial x^2} - \frac{1}{v^2}\frac{\partial^2 u(x,t)}{\partial t^2} = 0, \quad \frac{\partial^2 i(x,t)}{\partial x^2} - \frac{1}{v^2}\frac{\partial^2 i(x,t)}{\partial t^2} = 0.$$

Данные уравнения являются волновыми и могут быть решены рассмотренными ранее методами.



$$\varphi(L_n, t) = \varphi_k + U(t), \quad \varphi(-L_p, t) = U(t), \quad (54)$$

где  $U(t)$  – приложенная разность потенциалов. Далее будем рассматривать случай однократной ионизации, когда  $N_d(x, t) = p(x, t)$  и  $N_d(x, t) = n(x, t)$ . Тогда

$$\frac{\partial^2 \varphi(x, t)}{\partial x^2} = e \frac{p(x, t) - n(x, t)}{\varepsilon \varepsilon_0}. \quad (3a)$$

Решением данного уравнения с граничными условиями (4) является следующая функция

$$\begin{aligned} \varphi(x, t) = \varphi_k + U(t) + \frac{x - L_n}{L_p + L_n} \left\{ \varphi_k + U(t) - \frac{e}{\varepsilon \varepsilon_0} \int_{-L_p}^{L_n} (L_n - v) [p(v, t) - n(v, t)] dv \right\} - \\ - \frac{e}{\varepsilon \varepsilon_0} \int_x^{L_n} (L_n - v) [p(v, t) - n(v, t)] dv. \quad (55) \end{aligned}$$

Для определения пространственно-временных распределений носителей заряда приведем уравнения (51) к интегральной форме. С учетом соотношения (55) получаем интегральный аналог уравнений (51) принимает вид

$$\begin{aligned} n(x, t) = \frac{1}{L^2} \left( \int_0^t \int_0^x (x - v) G dv d\tau + \frac{e}{\varepsilon \varepsilon_0} \int_0^t \int_0^{L_n} \mu_n (L_n - v) n(v, \tau) [p(v, \tau) - n(v, \tau)] dv d\tau - \right. \\ \left. - \int_0^x (x - v) n(v, t) dv - \frac{1}{L_p + L_n} \left\{ \varphi_k + U(t) - \frac{e}{\varepsilon \varepsilon_0} \int_{-L_p}^{L_n} (L_n - v) [p(v, t) - n(v, t)] dv \right\} \int_0^t \int_{L_n}^x n(v, \tau) \times \right. \\ \left. \times \mu_n dv d\tau + \int_0^x (x - v) n_0(v) dv - \int_0^t \int_0^x (x - v) k_{np} [n(v, \tau) p(v, \tau) - n_0 p_0] dv d\tau - \int_0^t \int_0^{L_n} \mu_n n(v, \tau) \times \right. \\ \left. \times \frac{\partial \varphi_n(v, \tau)}{\partial v} dv d\tau + \int_0^t D_n n(x, \tau) d\tau - \int_0^t D_n (L_n) n_n(\tau) d\tau + \int_0^{L_n} (L_n - v) [n(v, t) - n_0(v)] dv - \right. \\ \left. - \int_0^t \int_{L_n}^x n(v, \tau) \frac{\partial D_n}{\partial v} dv d\tau - \int_0^t \int_0^{L_n} (L_n - v) G dv d\tau + \frac{x - L_n}{L_p + L_n} \left\{ \frac{1}{L_p + L_n} \int_0^t \int_{-L_p}^{L_n} \mu_n n(v, \tau) dv d\tau \left\{ \varphi_k + \right. \right. \right. \\ \left. \left. + U(t) - \frac{e}{\varepsilon \varepsilon_0} \int_{-L_p}^{L_n} (L_n - v) [p(v, t) - n(v, t)] dv \right\} + \frac{e}{\varepsilon \varepsilon_0} \int_0^t \int_{-L_p}^{L_n} (L_n - v) n(v, \tau) [p(v, \tau) - n(v, \tau)] \times \right. \\ \left. \times \mu_n dv d\tau - \int_0^t n_n(\tau) D_n (L_n) d\tau + \int_0^t \int_{-L_p}^0 (L_p + v) G dv d\tau - \int_0^t \int_{-L_p}^{L_n} (L_p + v) k_{np} [n(v, \tau) p(v, \tau) - \right. \\ \left. - n_0 p_0] dv d\tau + \int_0^t D_n (-L_p) n_p(\tau) d\tau - \int_0^t \int_{-L_p}^{L_p} (L_p + v) k_{np} [n(v, \tau) p(v, \tau) - n_0 p_0] dv d\tau - \right. \\ \left. - \int_{-L_p}^0 (L_p + v) [n(v, t) - n_0(v)] dv - \int_0^t \int_0^{L_n} (L_n - v) G dv d\tau + \int_0^{L_n} (L_n - v) [n(v, t) - n_0(v)] dv + \right. \end{aligned}$$

$$+ \int_0^t \int_{-L_p}^{L_n} \mu_n n(v, \tau) \frac{\partial \varphi_h(v, \tau)}{\partial v} dv d\tau + \int_0^t \int_{-L_p}^{L_n} n(v, \tau) \frac{\partial D_n}{\partial v} dv d\tau \Big\} + n(x, t), \quad (51a)$$

$$\begin{aligned} p(x, t) = & \frac{1}{L^2} \left( \int_0^t \int_0^x (x-v) G dv d\tau + \frac{e}{\varepsilon \varepsilon_0} \int_0^t \int_0^x \mu_p (L_n - v) p(v, \tau) [p(v, \tau) - n(v, \tau)] dv d\tau - \right. \\ & - \int_0^x (x-v) p(v, t) dv - \frac{1}{L_p + L_n} \left\{ \varphi_k + U(t) - \frac{e}{\varepsilon \varepsilon_0} \int_{-L_p}^{L_n} (L_p - v) [p(v, t) - n(v, t)] dv \right\} \int_0^t \int_{L_n}^x p(v, \tau) \times \\ & \times \mu_p dv d\tau + \int_0^x (x-v) p_0(v) dv - \int_0^t \int_{L_n}^x (x-v) k_{np} [n(v, \tau) p(v, \tau) - n_0 p_0] dv d\tau - \int_0^t \int_{L_n}^x \mu_p p(v, \tau) \times \\ & \times \frac{\partial \varphi_h(v, \tau)}{\partial v} dv d\tau + \int_0^t D_p p(x, \tau) d\tau - \int_0^t D_p (L_p) p_p(\tau) d\tau + \int_0^{L_p} (L_p - v) [p(v, t) - p_0(v)] dv - \\ & - \int_0^t \int_{L_n}^x p(v, \tau) \frac{\partial D_p}{\partial v} dv d\tau - \int_0^t \int_0^{L_p} (L_p - v) G dv d\tau + \frac{x - L_p}{L_p + L_n} \left\{ \frac{1}{L_p + L_n} \int_0^t \int_{-L_p}^{L_n} \mu_p p(v, \tau) dv d\tau \{ \varphi_k + \right. \\ & + U(t) - \frac{e}{\varepsilon \varepsilon_0} \int_{-L_p}^{L_n} (L_n - v) [p(v, t) - n(v, t)] dv \Big\} + \frac{e}{\varepsilon \varepsilon_0} \int_0^t \int_{-L_p}^{L_n} (L_p - v) p(v, \tau) [p(v, \tau) - n(v, \tau)] \times \\ & \times \mu_p dv d\tau - \int_0^t p_p(\tau) D_p(L_p) d\tau + \int_0^t \int_{-L_n}^0 (L_n + v) G dv d\tau - \int_0^t \int_{-L_p}^{L_p} (L_n + v) k_{np} [n(v, \tau) p(v, \tau) - \\ & - n_0 p_0] dv d\tau + \int_0^t D_p(-L_n) p_n(\tau) d\tau - \int_0^t \int_{-L_p}^{L_n} (L_n + v) k_{np} [n(v, \tau) p(v, \tau) - n_0 p_0] dv d\tau - \\ & - \int_{-L_n}^0 (L_n + v) [p(v, t) - p_0(v)] dv - \int_0^t \int_0^{L_p} (L_p - v) G dv d\tau + \int_0^{L_p} (L_p - v) [p(v, t) - p_0(v)] dv + \\ & \left. + \int_0^t \int_{-L_p}^{L_n} \mu_p p(v, \tau) \frac{\partial \varphi_h(v, \tau)}{\partial v} dv d\tau + \int_0^t \int_{-L_p}^{L_n} p(v, \tau) \frac{\partial D_p}{\partial v} dv d\tau \right\} + p(x, t). \end{aligned}$$

Систему уравнений (51a) решим методом осреднения функциональных поправок. В рамках данного метода заменяем концентрации носителей заряда  $n(x, t)$  и  $p(x, t)$  на их пока неизвестные средние значения  $\alpha_{n1}$  и  $\alpha_{p1}$ , что позволяет получить первые приближения искомых концентраций в следующей форме

$$\begin{aligned} n_1(x, t) = & \frac{1}{L^2} \left( \int_0^t \int_0^x (x-v) G dv d\tau + (\alpha_{p1} - \alpha_{n1}) \frac{e \alpha_{n1}}{\varepsilon \varepsilon_0} \int_0^t \int_0^x \mu_n (L_n - v) dv d\tau - \alpha_{n1} \int_0^t \int_{L_n}^x \mu_n dv d\tau \times \right. \\ & \times \left[ \frac{\varphi_k + U(t)}{L_p + L_n} - e (\alpha_{p1} - \alpha_{n1}) \frac{L_n + L_p}{2 \varepsilon \varepsilon_0} \right] - \alpha_{n1} \int_0^t \int_{L_n}^x \mu_n \frac{\partial \varphi_h(v, \tau)}{\partial v} dv d\tau - \int_0^t \int_{L_n}^x (\alpha_{n1} \alpha_{p1} - n_0 p_0) \times \\ & \times k_{np} (x-v) dv d\tau + \int_0^t D_n n(x, \tau) d\tau - \int_0^t D_n(L_n) n_n(\tau) d\tau - \int_0^t \int_0^{L_p} (L_n - v) G dv d\tau + \int_0^t D_n(L_n) d\tau \times \end{aligned}$$

$$\begin{aligned}
& \times \alpha_{n1} + \int_0^{L_n} (L_n - v) [\alpha_{n1} - n_0(v)] dv - \alpha_{n1} \int_0^t D_n d\tau + \int_0^x (x - v) n_0(v) dv - \alpha_{n1} \frac{x^2}{2} + \frac{x - L_n}{L_p + L_n} \times \\
& \times \left\{ \left[ \frac{\varphi_k}{L_p + L_n} - (\alpha_{p1} - \alpha_{n1})(L_n + L_p) \frac{e\alpha_{n1}}{2\varepsilon\varepsilon_0} \int_0^t \int_{-L_p}^{L_n} \mu_n dv d\tau + \frac{e\alpha_{n1}}{\varepsilon\varepsilon_0} (\alpha_{p1} - \alpha_{n1}) \int_0^t \int_{-L_p}^{L_n} (L_n - v) \mu_n dv d\tau + \right. \right. \\
& + \alpha_{n1} \int_0^t \int_{-L_p}^{L_n} \mu_n \frac{\partial \varphi_h(v, \tau)}{\partial v} dv d\tau - \int_0^t \int_{-L_p}^{L_n} (\alpha_{n1} \alpha_{p1} - n_0 p_0) k_{np}(L_p + v) dv d\tau - \int_0^t D_n(L_n) n_n(\tau) d\tau - \\
& - \int_{-L_p}^0 (L_p + v) [\alpha_{n1} - n_0(v)] dv + \int_0^t D_n(-L_p) n_p(\tau) d\tau + \alpha_{n1} \int_0^t D_n(L_n) d\tau + \int_0^t \int_{-L_p}^0 (L_p + v) G dv d\tau - \\
& \times G dv d\tau - \alpha_{n1} \int_0^t D_n(-L_p) d\tau + \int_0^{L_n} (L_n - v) [\alpha_{n1} - n_0(v)] dv - \int_0^t \int_0^{L_n} (L_n - v) G dv d\tau \left. \right\} + \alpha_{n1}, \quad (56) \\
p_1(x, t) = & \frac{1}{L^2} \left( \int_0^t \int_0^x (x - v) G dv d\tau + (\alpha_{p1} - \alpha_{n1}) \frac{e\alpha_{p1}}{\varepsilon\varepsilon_0} \int_0^t \int_0^x \mu_p(L_p - v) dv d\tau - \alpha_{p1} \int_0^t \int_0^x \mu_p dv d\tau \times \right. \\
& \times \left[ \frac{\varphi_k + U(t)}{L_p + L_n} - e(\alpha_{p1} - \alpha_{n1}) \frac{L_n + L_p}{2\varepsilon\varepsilon_0} \right] - \alpha_{p1} \int_0^t \int_0^x \mu_p \frac{\partial \varphi_h(v, \tau)}{\partial v} dv d\tau - \int_0^t \int_0^x (\alpha_{n1} \alpha_{p1} - n_0 p_0) \times \\
& \times k_{np}(x - v) dv d\tau + \int_0^t D_p p(x, \tau) d\tau - \int_0^t D_p(L_p) p_p(\tau) d\tau - \int_0^t \int_0^{L_p} (L_p - v) G dv d\tau + \int_0^t D_p(L_p) d\tau \times \\
& \times \alpha_{p1} + \int_{-L_p}^0 (L_p - v) [\alpha_{p1} - p_0(v)] dv - \alpha_{p1} \int_0^t D_{pn} d\tau + \int_0^x (x - v) p_0(v) dv - \alpha_{p1} \frac{x^2}{2} + \frac{x + L_p}{L_p + L_n} \times \\
& \times \left\{ \left[ \frac{\varphi_k}{L_p + L_n} - (\alpha_{p1} - \alpha_{n1})(L_n + L_p) \frac{e\alpha_{p1}}{2\varepsilon\varepsilon_0} \int_0^t \int_{-L_p}^{L_n} \mu_p dv d\tau + \frac{e\alpha_{p1}}{\varepsilon\varepsilon_0} (\alpha_{p1} - \alpha_{n1}) \int_0^t \int_{-L_p}^{L_n} (L_p - v) \mu_p dv d\tau + \right. \right. \\
& + \alpha_{p1} \int_0^t \int_{-L_p}^{L_n} \mu_p \frac{\partial \varphi_h(v, \tau)}{\partial v} dv d\tau - \int_0^t \int_{-L_p}^{L_n} (\alpha_{n1} \alpha_{p1} - n_0 p_0) k_{np}(L_p + v) dv d\tau - \int_0^t D_p(L_p) p_p(\tau) d\tau - \\
& - \int_{-L_p}^0 (L_n + v) [\alpha_{p1} - p_0(v)] dv + \int_0^t D_p(-L_n) p_n(\tau) d\tau + \alpha_{p1} \int_0^t D_p(L_p) d\tau + \int_0^t \int_{-L_n}^0 (L_n + v) G dv d\tau - \\
& \times G dv d\tau - \alpha_{p1} \int_0^t D_p(-L_n) d\tau + \int_0^{L_p} (L_p - v) [\alpha_{p1} - p_0(v)] dv - \int_0^t \int_0^{L_p} (L_p - v) G dv d\tau \left. \right\} + \alpha_{p1}.
\end{aligned}$$

Интегрируя соотношения (56) по области  $p$ - $n$ -перехода и длительности наблюдения за динамикой изменения концентраций носителей заряда получаем систему уравнений для нахождения средних значений  $\alpha_{n1}$  и  $\alpha_{p1}$ . Данная система из-за громоздкости приведена в Приложении. Вторые приближения концентраций носителей заряда определяются в рамках стандартной итерационной процедуры, в рамках которой проводятся следующие замены  $n(x, t) \rightarrow \alpha_{n2} + n_1(x, t)$  и  $p(x, t) \rightarrow \alpha_{p2} + p_1(x, t)$ . После проведения такой замены в уравнениях (51a) получаем

соотношения для вторых приближений концентрации носителей заряда в следующей форме

$$\begin{aligned}
n_2(x,t) = & \frac{1}{L^2} \left[ \int_0^t \int_0^x (x-v) G dv d\tau + \frac{e}{\varepsilon \varepsilon_0} \int_0^t \int_0^{L_n} \mu_n (L_n - v) [\alpha_{p_2} + p_1(v,\tau) - \alpha_{n_2} - n_1(v,\tau)] \times \right. \\
& \times [\alpha_{n_2} + n_1(v,\tau)] dv d\tau - \int_0^x (x-v) [\alpha_{n_2} + n_1(v,t)] dv - \int_0^t \int_0^{L_n} \mu_n [\alpha_{n_2} + n_1(v,\tau)] dv d\tau \{ \varphi_k + \\
& + U(t) - \frac{e}{\varepsilon \varepsilon_0} \int_{-L_p}^{L_n} (L_n - v) [\alpha_{p_2} + p_1(v,t) - \alpha_{n_2} - n_1(v,t)] dv \} \frac{1}{L_p + L_n} + \int_0^t \int_0^x (x-v) \{ n_0 p_0 - \\
& - [\alpha_{n_2} + n_1(v,\tau)] [\alpha_{p_2} + p_1(v,\tau)] \} k_{np} dv d\tau + \int_0^x (x-v) n_0(v) dv - \int_0^t \int_0^{L_n} [\alpha_{n_2} + n_1(v,\tau)] \frac{\partial \varphi_h(v,\tau)}{\partial v} \times \\
& \times \mu_n dv d\tau + \int_0^t D_n [\alpha_{n_2} + n_1(x,\tau)] d\tau + \int_0^{L_n} (L_n - v) [\alpha_{n_2} + n_1(v,t) - n_0(v)] dv - \int_0^t \int_0^{L_n} [\alpha_{n_2} + n_1(v,\tau)] \times \\
& \times \frac{\partial D_n}{\partial v} dv d\tau - \int_0^t D_n(L_n) n_n(\tau) d\tau - \int_0^t \int_0^{L_n} (L_n - v) G dv d\tau - \int_0^t \int_0^{L_n} (L_n - v) G dv d\tau + \frac{x - L_n}{L_p + L_n} \times \\
& \times \left( \frac{e}{\varepsilon \varepsilon_0} \int_{-L_p}^{L_n} \mu_n [\alpha_{n_2} + n_1(v,\tau)] [\alpha_{p_2} + p_1(v,\tau) - \alpha_{n_2} - n_1(v,\tau)] (L_n - v) dv d\tau + \int_{-L_p}^0 (L_p + v) \times \right. \\
& \times G dv d\tau + \frac{1}{L_p + L_n} \left\{ \varphi_k + U(t) - \frac{e}{\varepsilon \varepsilon_0} \int_{-L_p}^{L_n} (L_n - v) [\alpha_{p_2} + p_1(v,\tau) - \alpha_{n_2} - n_1(v,\tau)] dv \right\} \times \\
& \times \int_0^t \int_{-L_p}^{L_n} \mu_n [\alpha_{n_2} + n_1(v,\tau)] dv d\tau - \int_0^t D_n(L_n) n_n(\tau) d\tau - \int_0^t \int_{-L_p}^{L_n} \{ [\alpha_{n_2} + n_1(v,\tau)] [\alpha_{p_2} + p_1(v,\tau)] - \\
& - n_0 p_0 \} k_{np} (L_p + v) dv d\tau - \int_{-L_p}^0 (L_p + v) [\alpha_{n_2} + n_1(v,t) - n_0(v)] dv + \int_0^t D_n(-L_p) n_p(\tau) d\tau - \\
& - \int_0^t \int_0^{L_n} (L_n - v) G dv d\tau + \int_0^t \int_{-L_p}^{L_n} \mu_n [\alpha_{n_2} + n_1(v,\tau)] \frac{\partial \varphi_h(v,\tau)}{\partial v} dv d\tau + \int_0^{L_n} [\alpha_{n_2} + n_1(v,t) - n_0(v)] \times \\
& \left. \times (L_n - v) dv + \int_0^t \int_{-L_p}^{L_n} \frac{\partial D_n}{\partial v} [\alpha_{n_2} + n_1(v,\tau)] dv d\tau \right] + \alpha_{n_2} + n_1(x,t),
\end{aligned}$$

$$\begin{aligned}
p_2(x,t) = & \frac{1}{L^2} \left[ \int_0^t \int_0^x (x-v) G dv d\tau + \frac{e}{\varepsilon \varepsilon_0} \int_0^t \int_0^{L_p} \mu_p (L_p - v) [\alpha_{p_2} + p_1(v,\tau) - \alpha_{n_2} - n_1(v,\tau)] \times \right. \\
& \times [\alpha_{p_2} + p_1(v,\tau)] dv d\tau - \int_0^x (x-v) [\alpha_{p_2} + p_1(v,t)] dv - \int_0^t \int_0^{L_p} \mu_p [\alpha_{p_2} + p_1(v,\tau)] dv d\tau \{ \varphi_k + \\
& + U(t) - \frac{e}{\varepsilon \varepsilon_0} \int_{-L_p}^{L_n} (L_p - v) [\alpha_{p_2} + p_1(v,t) - \alpha_{n_2} - n_1(v,t)] dv \} \frac{1}{L_p + L_n} + \int_0^t \int_0^x (x-v) \{ n_0 p_0 - \\
& - [\alpha_{p_2} + p_1(v,\tau)] [\alpha_{p_2} + p_1(v,\tau)] \} k_{np} dv d\tau + \int_0^x (x-v) n_0(v) dv - \int_0^t \int_0^{L_p} [\alpha_{p_2} + p_1(v,\tau)] \frac{\partial \varphi_h(v,\tau)}{\partial v} \times \\
& \left. \times \mu_p dv d\tau + \int_0^t D_p [\alpha_{p_2} + p_1(x,\tau)] d\tau + \int_0^{L_p} (L_p - v) [\alpha_{p_2} + p_1(v,t) - n_0(v)] dv - \int_0^t \int_0^{L_p} [\alpha_{p_2} + p_1(v,\tau)] \times \right. \\
& \left. \times \frac{\partial D_p}{\partial v} dv d\tau - \int_0^t D_p(L_p) p_p(\tau) d\tau - \int_0^t \int_0^{L_p} (L_p - v) G dv d\tau - \int_0^t \int_0^{L_p} (L_p - v) G dv d\tau + \frac{x - L_p}{L_p + L_n} \times \right. \\
& \left. \times \left( \frac{e}{\varepsilon \varepsilon_0} \int_{-L_p}^{L_n} \mu_p [\alpha_{p_2} + p_1(v,\tau)] [\alpha_{p_2} + p_1(v,\tau) - \alpha_{n_2} - n_1(v,\tau)] (L_p - v) dv d\tau + \int_{-L_p}^0 (L_p + v) \times \right. \right. \\
& \left. \left. \times G dv d\tau + \frac{1}{L_p + L_n} \left\{ \varphi_k + U(t) - \frac{e}{\varepsilon \varepsilon_0} \int_{-L_p}^{L_n} (L_p - v) [\alpha_{p_2} + p_1(v,\tau) - \alpha_{n_2} - n_1(v,\tau)] dv \right\} \times \right. \right. \\
& \left. \left. \times \int_0^t \int_{-L_p}^{L_n} \mu_p [\alpha_{p_2} + p_1(v,\tau)] dv d\tau - \int_0^t D_p(L_p) p_p(\tau) d\tau - \int_0^t \int_{-L_p}^{L_n} \{ [\alpha_{p_2} + p_1(v,\tau)] [\alpha_{p_2} + p_1(v,\tau)] - \right. \right. \\
& \left. \left. - n_0 p_0 \} k_{np} (L_p + v) dv d\tau - \int_{-L_p}^0 (L_p + v) [\alpha_{p_2} + p_1(v,t) - n_0(v)] dv + \int_0^t D_p(-L_p) p_p(\tau) d\tau - \right. \right. \\
& \left. \left. - \int_0^t \int_0^{L_p} (L_p - v) G dv d\tau + \int_0^t \int_{-L_p}^{L_n} \mu_p [\alpha_{p_2} + p_1(v,\tau)] \frac{\partial \varphi_h(v,\tau)}{\partial v} dv d\tau + \int_0^{L_p} [\alpha_{p_2} + p_1(v,t) - n_0(v)] \times \right. \right. \\
& \left. \left. \times (L_p - v) dv + \int_0^t \int_{-L_p}^{L_n} \frac{\partial D_p}{\partial v} [\alpha_{p_2} + p_1(v,\tau)] dv d\tau \right) \right] + \alpha_{p_2} + p_1(x,t),
\end{aligned}$$



$$\begin{aligned}
& -[\alpha_{n_2} + n_1(v, \tau)][\alpha_{p_2} + p_1(v, \tau)]\}k_{np} dv d\tau + \int_0^x (x-v)p_0(v)dv - \int_0^x \int_{L_p} [\alpha_{p_2} + p_1(v, \tau)] \frac{\partial \varphi_h(v, \tau)}{\partial v} \times \\
& \times \mu_p dv d\tau + \int_0^t D_p [\alpha_{p_2} + p_1(x, \tau)] d\tau + \int_{-L_p}^0 (L_p - v)[\alpha_{p_2} + p_1(v, t) - p_0(v)] dv - \int_0^x \int_{L_p} [\alpha_{p_2} + p_1(v, \tau)] \times \\
& \times \frac{\partial D_p}{\partial v} dv d\tau - \int_0^t D_p(L_p) p_p(\tau) d\tau - \int_0^t \int_0^{L_p} (L_p - v) G dv d\tau - \int_0^t \int_0^{L_p} (L_p - v) G dv d\tau + \frac{x - L_p}{L_p + L_n} \times \\
& \times \left( \frac{e}{\varepsilon \varepsilon_0} \int_0^t \int_{-L_p}^{L_n} \mu_p [\alpha_{p_2} + p_1(v, \tau)][\alpha_{p_2} + p_1(v, \tau) - \alpha_{n_2} - n_1(v, \tau)] (L_p - v) dv d\tau + \int_0^t \int_0^{L_n} (L_n + v) \times \right. \\
& \times G dv d\tau + \frac{1}{L_p + L_n} \left\{ \varphi_k + U(t) - \frac{e}{\varepsilon \varepsilon_0} \int_{-L_p}^{L_n} (L_p - v)[\alpha_{p_2} + p_1(v, \tau) - \alpha_{n_2} - n_1(v, \tau)] dv \right\} \times \\
& \times \int_0^t \int_{-L_p}^{L_n} \mu_p [\alpha_{p_2} + p_1(v, \tau)] dv d\tau - \int_0^t D_p(L_p) n_p(\tau) d\tau - \int_0^t \int_{-L_p}^{L_n} \{[\alpha_{n_2} + n_1(v, \tau)][\alpha_{p_2} + p_1(v, \tau)] - \\
& - n_0 p_0\} k_{np} (L_p + v) dv d\tau - \int_0^{L_n} (L_n + v)[\alpha_{n_2} + n_1(v, t) - n_0(v)] dv + \int_0^t D_p(-L_n) p_n(\tau) d\tau - \\
& - \int_0^t \int_0^{L_p} (L_p - v) G dv d\tau + \int_0^t \int_{-L_p}^{L_n} \mu_p [\alpha_{p_2} + p_1(v, \tau)] \frac{\partial \varphi_h(v, \tau)}{\partial v} dv d\tau + \int_0^{L_n} [\alpha_{p_2} + p_1(v, t) - p_0(v)] \times \\
& \times (L_p - v) dv + \int_0^t \int_{-L_p}^{L_n} \frac{\partial D_p}{\partial v} [\alpha_{p_2} + p_1(v, \tau)] dv d\tau \left. \right] + \alpha_{p_2} + p_1(x, t).
\end{aligned}$$

Параметры  $\alpha_{n_2}$  и  $\alpha_{p_2}$  определялись в рамках стандартной процедуры метода осреднения функциональных поправок, т.е.

$$\alpha_{p_2} = \frac{1}{\Theta L} \int_0^{\Theta L} \int_0^L [\rho_2(x, t) - \rho_1(x, t)] dx dt, \quad (57)$$

где  $\rho = n, p$ ;  $\Theta$  - длительность наблюдения за динамикой носителей. Подстановка первых двух приближений концентраций носителей в соотношение (57) позволяет получить систему уравнений для параметров  $\alpha_{n_2}$  и  $\alpha_{p_2}$ . Данная система приведена в Приложении. Решением данных уравнений являются следующие значения параметров  $\alpha_{n_2}$  и  $\alpha_{p_2}$

$$\alpha_{p_2} = \sqrt[3]{\sqrt{\frac{p^3}{27} + \frac{q^2}{4}} - \frac{q}{2}} - \sqrt[3]{\sqrt{\frac{p^3}{27} + \frac{q^2}{4}} + \frac{q}{2}} - \frac{b_2 b_8 + b_1 b_9}{3(b_2 b_6 + b_1 b_7)}, \quad \alpha_{n_2} = \frac{b_1 \alpha_{n_2}^2 - b_4 \alpha_{p_2} - b_5}{b_2 \alpha_{p_2} + b_3},$$

где

$$q = \frac{2}{27} \left( \frac{b_2 b_8 + b_1 b_9}{b_2 b_6 + b_1 b_7} \right)^3 - (b_2 b_8 + b_1 b_9) \frac{(b_3 b_8 - b_7 b_4 - b_5 b_7 - b_4 b_9 + b_2 b_{10})}{3(b_2 b_6 + b_1 b_7)^2} + \frac{b_3 b_{10} - b_5 b_9}{b_2 b_6 + b_1 b_7}$$

$$p = \frac{b_3 b_8 - b_7 b_4 - b_5 b_7 - b_4 b_9 + b_2 b_{10}}{b_2 b_6 + b_1 b_7} - \frac{1}{3} \left( \frac{b_2 b_8 + b_1 b_9}{b_2 b_6 + b_1 b_7} \right)^2,$$

Параметры  $b_i$  определяется соотношениями

$$b_1 = M_{n00np11} + M_{n00np11} + \frac{1}{2} (L_n - L_p)^2 M_{n00np10} + M_{n00np00} \frac{(L_n - L_p)^4}{4(L_p + L_n)^2},$$

где  $M_{\rho_{ij\rho\rho kl}} = \frac{e}{\varepsilon \varepsilon_0} \int_0^{\ominus} (\Theta - t) \int_{-L_p}^{L_n} \mu_{\rho} (L_p + x)^k (L_n - x)^l \rho_1^i(x, t) \rho_1^j(x, t) dx dt$ ;

$$b_2 = M_{n00np01} \frac{(L_n - L_p)^2}{2(L_p + L_n)} - M_{n00np10} \frac{(L_n - L_p)^2}{2(L_n + L_p)} - M_{n00np00} \frac{(L_n - L_p)^4}{4(L_p + L_n)^2} - \frac{2L_p L_n N_{1000}}{(L_p + L_n)^2} + M_{n00np11},$$

где  $N_{ijkl} = \int_0^{\ominus} (\Theta - t) \int_{-L_p}^{L_n} k_{np} (L_p + x)^i (L_n - x)^j n_1^k(x, t) p_1^l(x, t) dx dt$ ;

$$b_3 = M_{n01np11} - M_{n10np11} - M_{n10np11} + \frac{e P_{n1p11n0}}{\varepsilon \varepsilon_0 (L_p + L_n)} - \frac{1}{L_p + L_n} \int_0^{\ominus} [\varphi_k + U(t)] \int_0^x \mu_n dv d\tau dt + \frac{N_{1001}}{2} + \int_0^{\ominus} (\Theta - t) [D_n(L_n) - D_n(-L_p)] dt + \int_0^{\ominus} (\Theta - t) \int_{-L_p}^{L_n} (L_p + x) \mu_n \frac{\partial \varphi_h(x, t)}{\partial x} dx dt - M_{n10np10} \frac{(L_n - L_p)^2}{2(L_n + L_p)} + (M_{n01np01} - M_{n10np01}) \frac{(L_n - L_p)^2}{2(L_p + L_n)} + \frac{(L_n - L_p)^2}{2(L_p + L_n)^2} \int_0^{\ominus} [\varphi_k + U(t)] \times \int_0^t \int_{-L_p}^{L_n} \mu_n dx d\tau dt - (P_{n1p10} - P_{n1n10}) \frac{e}{\varepsilon \varepsilon_0} \frac{(L_n - L_p)^2}{2(L_p + L_n)^2} + M_{n10np00} \frac{(L_n - L_p)^4}{4(L_p + L_n)^2} - M_{n10np01} \times \frac{(L_n - L_p)^2}{2(L_p + L_n)} - \Theta L_p^2 \frac{3(L_n - L_p)^2}{2(L_p + L_n)^2} + \frac{(L_n - L_p)^2}{2(L_p + L_n)^2} \int_0^{\ominus} (\Theta - t) [D_n(L_n) - D_n(-L_p)] dt + \Theta \frac{L_n^2}{4} - \frac{N_{1001} (L_n - L_p)^2}{2(L_p + L_n)^2} + \frac{(L_n - L_p)^2}{(L_p + L_n)^2} \int_0^{\ominus} (\Theta - t) \int_{-L_p}^{L_n} \mu_n \frac{\partial \varphi_h(x, t)}{\partial x} dx dt + \Theta \frac{L_n^2 (L_n - L_p)^2}{4(L_p + L_n)^2},$$

где  $P_{\rho_{isjk vl}} = \int_0^{\ominus} \int_{-L_p}^{L_n} (L_n - x)^i s_1^j(x, t) dx \int_0^t \int_{-L_p}^{L_n} \mu_{\rho} (L_p + x)^k v_1^l(x, \tau) dx d\tau dt$ ;

$$b_4 = M_{n10np01} \frac{(L_n - L_p)^2}{2(L_p + L_n)} - M_{n10np00} \frac{(L_n - L_p)^4}{2(L_p + L_n)^2} + \frac{2L_n L_p N_{1010}}{(L_p + L_n)^2} - M_{n10np10} \frac{(L_n - L_p)^2}{2(L_n + L_p)} +$$

$$+ M_{n10np10};$$

$$\begin{aligned}
b_5 = & M_{n11np11} - M_{n20np11} - \frac{1}{2} \int_0^{\Theta} \int_0^{L_n} (L_n - x) n_1(x, t) dx - \frac{1}{2} \int_0^{\Theta} \int_{-L_p}^0 (L_p + x) n_1(x, t) dx + \frac{1}{2} \int_0^{\Theta} (\Theta - t) \times \\
& \times \int_0^{L_n} (L_n - x)^2 G dv dt - \frac{1}{L_p + L_n} \frac{e P_{n1n11}}{\varepsilon \varepsilon_0} + \frac{e P_{n11p11n1}}{(L_p + L_n) \varepsilon \varepsilon_0} - \frac{1}{L_p + L_n} \int_0^{\Theta} [\varphi_k + U(t)] \int_0^{L_n} (L_p + x) \times \\
& \times \mu_n n_1(x, \tau) dx d\tau dt + \int_0^{\Theta} (\Theta - t) \int_{-L_p}^{L_n} \mu_n (L_p + x) n_1(x, t) \frac{\partial \varphi_h(x, t)}{\partial x} dx dt - \frac{n_0 P_0 N_{1000}}{2} - \\
& - (L_n + L_p) \int_0^{\Theta} (\Theta - t) D_n(L_n) n_n(\tau) d\tau + \frac{1}{2} \int_0^{\Theta} \int_0^{L_n} (L_n - x)^2 n_0(x) dx dt + \frac{N_{1011}}{2} - \frac{1}{2} \int_0^{\Theta} \int_{-L_p}^0 (L_p + x)^2 \times \\
& \times n_0(x) dx dt + \int_0^{\Theta} (\Theta - t) \int_{-L_p}^{L_n} D_n n_1(x, t) dx dt + \int_0^{\Theta} \int_0^{L_n} (L_n - x) [n_1(x, t) - n_0(x)] dx dt + \\
& + \int_0^{\Theta} (\Theta - t) \int_{-L_p}^{L_n} n_1(x, t) \frac{\partial D_n}{\partial x} dx dt + \frac{(L_n - L_p)^2}{2(L_p + L_n)} \int_0^{\Theta} (\Theta - t) \int_{-L_p}^0 (L_p + v) G dv d\tau - (L_n + L_p) \times \\
& \times \int_0^{\Theta} (\Theta - t) \int_0^{L_n} (L_n - x) G dx dt + M_{n11np01} - \frac{(L_n - L_p)^2}{2(L_p + L_n)} \int_0^{\Theta} (\Theta - t) D_n(L_n) n_n(t) dt;
\end{aligned}$$

$$b_6 = \frac{2eP_{p1n01p0} + 2\varepsilon\varepsilon_0(L_p + L_n)M_{p00np11} - \varepsilon\varepsilon_0M_{p00np00}L_n^2 + \varepsilon\varepsilon_0(L_n - L_p)^2M_{p00p01}}{2\varepsilon\varepsilon_0(L_p + L_n)};$$

$$b_7 = (N_{1000} - M_{p00np01}) \frac{(L_n - L_p)^2}{2(L_n + L_p)} - \frac{eP_{p1n0n1p1}}{\varepsilon\varepsilon_0(L_p + L_n)} - L_n^2 \frac{M_{p00np00}}{2(L_p + L_n)} - N_{1100} - M_{p00np11};$$

$$\begin{aligned}
b_8 = & M_{p01np11} - M_{p10np11} + M_{p01np11} + \Theta \frac{L_n^3}{3} - \frac{5}{6} \Theta L_p^3 - \int_0^{\Theta} (\Theta - t) \int_{-L_p}^{L_n} \mu_p (L_p + x) \frac{\partial \varphi_h(x, t)}{\partial x} dx dt + \\
& + L_n^2 L_p \frac{\Theta}{2} + \frac{eL_n^2 M_{p01np10}}{4\varepsilon\varepsilon_0(L_p + L_n)} - \frac{1}{L_p + L_n} \int_0^{\Theta} (\Theta - t) [\varphi_k + U(t)] \int_0^{L_n} (L_p + x) \mu_p dx d\tau dt - N_{1110} + \\
& + \frac{1}{L_p + L_n} \frac{e}{\varepsilon\varepsilon_0} \int_0^{\Theta} (\Theta - t) \int_0^{L_n} (L_n - x) [p_1(x, \tau) - n_1(x, \tau)] dx \int_{-L_p}^{L_n} (L_p + x) \mu_p dx d\tau dt + \\
& + 2 \int_0^{\Theta} (\Theta - t) [D_p(L_n) - D_p(-L_p)] dt - \int_0^{\Theta} \int_{-L_p}^{L_n} (L_n - x) [p_1(x, t) - n_1(x, t)] dx \int_0^t \int_{-L_p}^{L_n} \mu_p dv d\tau dt \times \\
& \times \frac{e}{\varepsilon\varepsilon_0} \frac{1}{L_p + L_n} + \frac{1}{L_p + L_n} \int_0^{\Theta} [\varphi_k + U(t)] \int_0^{L_n} \mu_p dx d\tau dt + \left\{ \int_0^{\Theta} (\Theta - t) [D_p(L_n) - D_p(-L_p)] dt \times \right. \\
& \times \frac{(L_n - L_p)^2}{2(L_n + L_p)} + \int_0^{\Theta} (\Theta - t) \int_{-L_p}^{L_n} \mu_p \frac{\partial \varphi_h(x, t)}{\partial x} dx dt + (L_n^2 \Theta - L_p^2 \Theta) \frac{M_{p01np01} - M_{p10np01}}{2} + N_{1010} +
\end{aligned}$$

$$\begin{aligned}
& + 2M_{p_01np_01} - 2M_{p_10np_01} \}; \\
b_9 = & \frac{2(L_n - L_p)^2 N_{1001} - 4(N_{1101} + M_{p_01np_11})(L_n + L_p) - L_n^2 M_{p_01np_10} - 2(L_n - L_p)^2 M_{p_01np_01}}{4(L_n + L_p)}; \\
b_{10} = & \frac{1}{2} \int_0^\ominus (\Theta - t) \int_0^{L_n} (L_n - x)^2 G dx dt + \frac{1}{2} \int_0^\ominus (\Theta - t) \int_{-L_p}^0 (L_p + x)^2 G dx dt - \frac{1}{2} \int_0^\ominus \int_0^{L_n} (L_n - x)^2 p_1(x, t) dx dt + \\
& + M_{p_02np_11} + \frac{e(P_{p_1p_1p_1} - P_{p_1p_1n_1})}{\varepsilon \varepsilon_0 (L_p + L_n)} - \int_0^\ominus (\Theta - t) [\varphi_k + U(t)] \int_0^t \int_{-L_p}^{L_p} (L_p + x) \mu_p p_1(x, \tau) dx d\tau dt \times \\
& \times \frac{1}{L_p + L_n} - \int_0^\ominus (\Theta - t) \int_{-L_p}^{L_n} (L_p + x) \mu_p p_1(x, t) \frac{\partial \varphi_h(x, t)}{\partial x} dx dt + \frac{1}{2} \int_0^\ominus \int_{-L_p}^0 (L_p - x)^2 p_1(x, t) dx dt - \\
& - \int_0^\ominus (\Theta - t) \int_0^{L_n} (L_n - x) G dx dt + (L_p + L_n) \int_0^\ominus \int_0^{L_n} (L_n - x) p_1(x, t) dx dt - \int_0^\ominus (\Theta - t) D_p(L_n) p_n(t) dt + \\
& + p_0 n_0 N_{1100} \times -M_{p_11np_11} - N_{1111} + \frac{1}{L_p + L_n} \int_0^\ominus [\varphi_k + U(t)] \int_0^t \int_{-L_p}^{L_n} \mu_p p_1(v, \tau) dv d\tau dt + \frac{(L_n - L_p)^2}{2(L_n + L_p)} \times \\
& \times \int_0^\ominus (\Theta - t) \int_{-L_p}^{L_n} \mu_p p_1(x, t) \frac{\partial \varphi_h(x, t)}{\partial x} dx dt + \int_0^\ominus (\Theta - t) \int_{-L_p}^{L_n} p_1(x, t) \frac{\partial D_p}{\partial x} dx dt + \frac{(L_n - L_p)^2}{2(L_n + L_p)} \times \\
& \times \int_0^\ominus (\Theta - t) \int_{-L_p}^0 (L_p + x) G dx dt + \frac{(L_n - L_p)^2}{2(L_n + L_p)} \int_0^\ominus (\Theta - t) \int_{-L_p}^{L_n} p_1(x, t) \frac{\partial D_p}{\partial x} dx dt - \frac{(L_n - L_p)^2}{2(L_n + L_p)} \times \\
& \times \int_0^\ominus (\Theta - t) D_p(L_n) p_n(t) dt - \frac{(L_n - L_p)^2}{2(L_n + L_p)} \int_0^\ominus (\Theta - t) \int_0^{L_n} (L_n - x) G dx dt + \frac{(L_n - L_p)^2}{2(L_n + L_p)} \int_0^\ominus (\Theta - t) \times \\
& \times D_p(-L_p) p_p(t) dt - \frac{(L_n - L_p)^2}{2(L_n + L_p)} \int_0^\ominus \int_{-L_p}^0 (L_p + x) p_1(x, t) dx dt - (n_0 p_0 N_{1000} - N_{1011}) \frac{(L_n - L_p)^2}{2(L_n + L_p)}.
\end{aligned}$$

## КОНТРОЛЬНЫЕ ЗАДАНИЯ

1. Найти решения дифференциальных уравнений в частных производных первого порядка

$$1.01 \frac{1}{x^5} \frac{\partial u}{\partial x} + \frac{1}{y^7} \frac{\partial u}{\partial y} + \frac{1}{z^4} \frac{\partial u}{\partial z} = 0;$$

$$1.02 \frac{\partial u}{\partial x} + \frac{1}{\operatorname{ctg}(y)} \frac{\partial u}{\partial y} + \operatorname{tg}(z) \frac{\partial u}{\partial z} = 0;$$

$$1.03 \frac{1}{\ln(x)} \frac{\partial u}{\partial x} + \frac{1}{\operatorname{ch}(y)} \frac{\partial u}{\partial y} + e^z \frac{\partial u}{\partial z} = 0;$$

$$1.04 \frac{1}{\sin(x)} \frac{\partial u}{\partial x} + 2 \frac{\partial u}{\partial y} + 3 \frac{\partial u}{\partial z} = 0;$$

$$1.05 \frac{1}{\ln(x)} \frac{\partial u}{\partial x} + \frac{1}{y^2} \frac{\partial u}{\partial y} = \frac{u}{2 \cdot x \cdot y};$$

$$1.06 \frac{\ln(x)}{x} \frac{\partial u}{\partial x} + e^y \frac{\partial u}{\partial y} + 2z \frac{\partial u}{\partial z} = 0;$$

$$1.07 2 \frac{\partial u}{\partial x} + y e^{y^2} \frac{\partial u}{\partial y} = 2x^2 u \cdot \operatorname{tg}(y);$$

$$1.08 \frac{1}{x^2 \ln(x^3)} \frac{\partial u}{\partial x} + y \frac{\partial u}{\partial y} = u \cdot \operatorname{th}(y);$$

$$1.09 x \cdot y^2 \frac{\partial u}{\partial x} + x^5 \cdot y^3 \frac{\partial u}{\partial y} + \operatorname{tg}(z) \frac{\partial u}{\partial z} = 0;$$

$$1.10 e^{2x} \frac{\partial u}{\partial x} + \frac{\ln^2(y)}{y} \frac{\partial u}{\partial y} + \operatorname{cth}(z) \frac{\partial u}{\partial z} = 0;$$

$$1.11 2x \frac{\partial u}{\partial x} + y^2 \sin(y) \frac{\partial u}{\partial y} = x \cdot \ln(u);$$

$$1.12 \frac{\partial u}{\partial x} + \operatorname{th}(y) \frac{\partial u}{\partial y} + \operatorname{cth}(z) \frac{\partial u}{\partial z} = 0;$$

$$1.13 y \frac{\partial u}{\partial x} + \frac{\ln(1+x^2)}{x} \frac{\partial u}{\partial y} + z \frac{\partial u}{\partial z} = 0;$$

$$1.14 x^3 \frac{\partial u}{\partial x} + 5y^8 \frac{\partial u}{\partial y} + z \frac{\partial u}{\partial z} = 0;$$

$$1.15 \sin^2(x) \frac{\partial u}{\partial x} + \cos^2(y) \frac{\partial u}{\partial y} + 3 \frac{\partial u}{\partial z} = 0;$$

$$1.16 \cos^2(x) \frac{\partial u}{\partial x} + \frac{1}{\ln(y)} \frac{\partial u}{\partial y} + \operatorname{sh}^2(z) \frac{\partial u}{\partial z} = 0;$$

$$1.17 \frac{1}{x} \frac{\partial u}{\partial x} + \frac{1}{y^2 e^y} \frac{\partial u}{\partial y} + \frac{1}{z} \frac{\partial u}{\partial z} = 0;$$

$$1.18 \operatorname{tg}^3(x) \frac{\partial u}{\partial x} + \frac{\partial u}{\partial y} + 2z^4 \frac{\partial u}{\partial z} = 0;$$

$$1.19 \frac{e^{x^3}}{x^2} \frac{\partial u}{\partial x} + \frac{y^4}{5} \frac{\partial u}{\partial y} = u;$$

$$1.20 \frac{\operatorname{tg}(x)}{\sin(2x)} \frac{\partial u}{\partial x} + \frac{y^3}{\ln(y^{-2})} \frac{\partial u}{\partial y} = 2u;$$

$$1.21 \frac{\cos^2(x) - \sin^2(x)}{\sin(2x)} \frac{\partial u}{\partial x} + \frac{y}{7} \frac{\partial u}{\partial y} = \frac{u}{3};$$

$$1.22 x \frac{\partial u}{\partial x} + \sin^2(3y) \frac{\partial u}{\partial y} = u;$$

$$1.23 \frac{x^2}{3} \frac{\partial u}{\partial x} + \frac{\cos^2(y^2)}{y} \frac{\partial u}{\partial y} = u;$$

$$1.24 \operatorname{tg}(x) \frac{\partial u}{\partial x} + \frac{1}{\sin(y)} \frac{\partial u}{\partial y} = u;$$

$$1.25 \operatorname{ctg}^3(x) \frac{\partial u}{\partial x} + y^3 \frac{\partial u}{\partial y} + \frac{\ln(z)}{z} \frac{\partial u}{\partial z} = 0;$$

$$1.26 \frac{1}{\ln(x)} \frac{\partial u}{\partial x} + \frac{e^{y^3}}{y^2} \frac{\partial u}{\partial y} + \frac{\ln^4(z)}{z} \frac{\partial u}{\partial z} = 0;$$

$$1.27 \operatorname{tg}^5(x) \frac{\partial u}{\partial x} + 2y^2 \frac{\partial u}{\partial y} + \operatorname{sh}^2(z) \frac{\partial u}{\partial z} = 0;$$

$$1.28 \frac{1}{x \cdot \ln(x)} \frac{\partial u}{\partial x} + \sqrt{1-y^2} \frac{\partial u}{\partial y} + 3 \frac{\partial u}{\partial z} = 0;$$

$$1.29 \frac{1}{x \cdot \ln(x^2)} \frac{\partial u}{\partial x} + \sqrt{1+y^2} \frac{\partial u}{\partial y} + 3z \frac{\partial u}{\partial z} = 0;$$

$$1.30 \frac{1}{1+x^2} \frac{\partial u}{\partial x} + (1+y^2) \frac{\partial u}{\partial y} + 3z^2 \frac{\partial u}{\partial z} = 0.$$

2. Найти решения дифференциального уравнения  $\frac{\partial u(x,t)}{\partial t} = D \frac{\partial^2 u(x,t)}{\partial x^2} + g(x,t)$

с граничными и начальным условиями  $u(x,0)=\chi(x)$ ,  $u(0,t)=0$ ,  $u(L,t)=0$  при

- |  |  |  |
|--|--|--|
| 1.01 $\chi(x)=a \cdot x+b$ ,<br>$g(x,t)=c \cdot x \cdot t$ ;                               | 1.02 $\chi(x)=a \cdot \sin(b \cdot x)$ ,<br>$g(x,t)=c \cdot x^2 \cdot t^2$ ;                       | 1.03 $\chi(x)=a \cdot x^2+b$ ,<br>$g(x,t)=c \cdot e^{-b \cdot x \cdot t}$ ;                        |
| 1.04 $\chi(x)=a$ ,<br>$g(x,t)=b \cdot \sin(\omega t)$ ;                                    | 1.05 $\chi(x)=a \cos(b \cdot x)$ ,<br>$g(x,t)=c \cdot \cos(\omega x)$ ;                            | 1.06 $\chi(x)=a \cdot e^{-b \cdot x}$ ,<br>$g(x,t)=c \cdot x \cdot \operatorname{ch}(c \cdot t)$ ; |
| 1.07 $\chi(x)=a \cdot \operatorname{sh}(b \cdot x)$ ,<br>$g(x,t)=c \cdot \cos(\omega t)$ ; | 1.08 $\chi(x)=a \cdot \operatorname{ch}(b \cdot x)$ ,<br>$g(x,t)=c \cdot x^2 \cdot t$ ;            | 1.09 $\chi(x)=a \cdot x^2+b \cdot x+c$ ,<br>$g(x,t)=d \cdot x \cdot t^2$ ;                         |
| 1.10 $\chi(x)=a \cdot x+b$ ,<br>$g(x,t)=c \cdot x \cdot t$ ;                               | 1.11 $\chi(x)=a \cdot e^{-b \cdot x}$ ,<br>$g(x,t)=c \cdot \cos(dx+et)$ ;                          | 1.12 $\chi(x)=a \cdot e^{-b \cdot x}$ ,<br>$g(x,t)=c \cdot x \cdot \operatorname{sh}(c \cdot t)$ ; |
| 1.13 $\chi(x)=a \cdot x+b$ ,<br>$g(x,t)=c \cdot e^{-d \cdot x \cdot t}+e$ ;                | 1.14 $\chi(x)=a \cdot \operatorname{sh}(b \cdot x)$ ,<br>$g(x,t)=c \cdot \cos(dx+et)$ ;            | 1.15 $\chi(x)=a \cdot x^2+b \cdot x+c$ ,<br>$g(x,t)=c \cdot \cos(dx)$ ;                            |
| 1.16 $\chi(x)=a$ ,<br>$g(x,t)=b \cdot \cos(c \cdot x)$ ;                                   | 1.17 $\chi(x)=a \cdot e^{-b \cdot x}$ ,<br>$g(x,t)=c$ ;  | 1.18 $\chi(x)=a \cdot \operatorname{ch}(b \cdot x)$ ,<br>$g(x,t)=c \cdot \sin(d \cdot t)$ ;        |
| 1.19 $\chi(x)=a \cos(b \cdot x+c)$ ,<br>$g(x,t)=c \cdot e^{-d \cdot x} \cos(e \cdot t)$ ;  | 1.20 $\chi(x)=a \sin(b \cdot x+c)$ ,<br>$g(x,t)=c \cdot e^{-d \cdot x} \sin(d \cdot t)$ ;          | 1.21 $\chi(x)=a$ ,<br>$g(x,t)=c \cdot e^{-b \cdot x \cdot t}$ ;                                    |
| 1.22 $\chi(x)=a \cdot e^{-b \cdot x}$ ,<br>$g(x,t)=c \cdot x^2 \cdot t^3$ ;                | 1.23 $\chi(x)=a \cdot x^2+b \cdot x+c$ ,<br>$g(x,t)=c \cdot x^3 \cdot t^2$ ;                       | 1.24 $\chi(x)=a \cdot x^2+b \cdot x+c$ ,<br>$g(x,t)=c \cdot x^3 \cdot t^2$ ;                       |
| 1.25 $\chi(x)=a \cdot e^{-b \cdot x}$ ,<br>$g(x,t)=c \cdot e^{-d \cdot x}$ ;               | 1.26 $\chi(x)=a \cdot \operatorname{sh}(b \cdot x)$ ,<br>$g(x,t)=c \cdot e^{-d \cdot x \cdot t}$ ; | 1.27 $\chi(x)=a \cdot \operatorname{ch}(b \cdot x)$ ,<br>$g(x,t)=c \cdot e^{-d \cdot t}$ ;         |
| 1.28 $\chi(x)=a$ ,<br>$g(x,t)=b \cdot e^{-c \cdot x} \cos(d \cdot t)$ ;                    | 1.29 $\chi(x)=a$ ,<br>$g(x,t)=b \cdot e^{-c \cdot x} \sin(d \cdot t)$ ;                            | 1.30 $\chi(x)=a \cdot \cos(b \cdot x)$ ,<br>$g(x,t)=b \cdot \operatorname{sh}(d \cdot t)$ ;        |

Параметры  $a$ ,  $b$ ,  $c$ ,  $d$  и  $e$  считать постоянными.

3. Найти решения дифференциального уравнения  $\frac{\partial^2 u(x,t)}{\partial t^2} = D \frac{\partial^2 u(x,t)}{\partial x^2} + g(x,t)$

с граничными и начальным условиями  $\frac{\partial u(x,t)}{\partial x} \Big|_{x=0} = \frac{\partial u(x,t)}{\partial x} \Big|_{x=L} = 0$ ,  $u(x,0)=\chi_1(x)$ ,

$\frac{\partial u(x,t)}{\partial t} \Big|_{x=0} = \chi_2(x)$ . В качестве функции  $g(x,t)$  взять функцию  $g(x,t)$  из преды-

дущего задания, а функции  $\chi_1(x)$  и  $\chi_2(x)$  считать одинаковыми и равными функции  $\chi(x)$  из предыдущего задания.

## ЛИТЕРАТУРА

1. З.Ю. Готра. Справочник. Технология микроэлектронных устройств. – М.: Радио и связь, 1991. – 528 с.
2. В.Г. Гусев, Ю.М. Гусев. Электроника. - М.: Высшая школа, 1991. – 622 с.
3. Н.М. Тугов, Б.А. Глебов, Н.А. Чарыков.. Полупроводниковые приборы. - М.: Энергоатомиздат, 1990. – 576 с.
4. И.П. Степаненко. Основы микроэлектроники. - М.: Советское радио, 1980. – 423 с.
5. В.С. Вавилов, Н.П. Кекеладзе, Л.С. Смирнов. Действие излучения на полупроводники. - М.: Наука, 1988. – 191с.
6. В.И. Лачин, Н.С. Савелов. Электроника. – Ростов-на-Дону: Феникс, 2001. – 446 с.
7. К.В. Шалимова. Физика полупроводников. - М.: Энергоатомиздат, 1985. – 391 с.
8. В.В. Молодин. Зимнее бетонирование монолитных строительных конструкций (учебное пособие). - Новосибирск: Новосибирский архитектурно-строительный университет, 2007. – 184 с.
9. В.В. Молодин, Ю.В. Лунев. Зимнее бетонирование монолитных строительных конструкций (монография). - Новосибирск: Новосибирский архитектурно-строительный университет, 2006. – 300 с.
10. М.С. Седов. Теория инерционного прохождения звука через ограждающие конструкции. // Известия вузов. Строительство и архитектура. - 1990. - № 2. С. 37-42.
11. М.С. Седов. Звуковая теория зданий и сооружений. // Известия вузов. Строительство. - 1997. - № 8. С. 19-23.
12. М.С.Бибишкин, Ю.А. Вайнер, А.Я. Лопатин, В.И. Лучин, А. Е. Пестов, В.Н. Полковников, Н.Н. Салащенко, В.В.Чернов, Н.И. Чхало. Многослойные поляризаторы для мягкого рентгеновского диапазона длин волн. // Материалы Симпозиума “Нанопфизика и наноэлектроника” / Нижний Новгород, ИФМ РАН. –2005. - С. 493 -494.
13. М.С. Бибишкин, С.Ю. Зуев, А.Ю. Климов, Е.Б. Ключенков, А.Я Лопатин, В.И. Лучин, Н.Н. Салащенко, Л.А. Суслов, Н.Н. Цыбин, Н.И. Чхало, Л.А. Шмаенок. Фильтры на пропускание для стендов проекционной EUV-литографии. // Материалы Симпозиума “Нанопфизика и наноэлектроника”/ Нижний Новгород, ИФМ РАН. –2005. - С. 497 -498.
14. А.В. Митрофанов, Ф.А. Пудонин. Рентгеновские фильтры из тонких пленок циркония и оксида циркония. // Материалы Симпозиума “Нанопфизика и наноэлектроника”/ Нижний Новгород, ИФМ РАН. – 2005. - С. 501-503.
15. Г. Карслоу, Д. Егер. Теплопроводность твердых тел. - М.: Наука, 1964. - 488 с.
16. А.Н. Тихонов, А.А. Самарский. Уравнения математической физики. - М.: Наука, 1972. – 735 с.
17. Г. Корн, Т. Корн. Справочник по математике для научных работников и инженеров. - М.: Наука, 1974. – 831 с.

18. E.L. Pankratov. Influence of spatial, temporal and concentrational dependence of diffusion coefficient on dopant dynamics: Optimization of annealing time. // *Physical Review B*. - 2005. - Vol. 72, №7. - P. 075201-075208.
19. Г. Бейтмен, А. Эрдейи, В. Магнус, Ф. Оберхеттингер, Ф. Трикоми. Таблицы интегральных преобразований. Т.1. Преобразования Фурье, Лапласа, Меллина. - М.: Наука, 1969. - 343 с.
20. E.L. Pankratov, E.A. Bulaeva. On prognosis of epitaxy from gas phase process to improve properties of epitaxial layers. // *3D Research*. - 2015. - Vol. 6, №4. - P. 40-51.
- 21 Ю.Д. Соколов. Об определении динамических усилий в шахтных подъёмных канатах. // *Прикладная механика*. – 1955. – Т.1, № 1. - С. 23-35.
- 22 E.L. Pankratov. Decreasing of depth of *p-n*-junction in a semiconductor heterostructure by serial radiation processing and microwave annealing. // *J. Comp. Theor. Nanoscience*. – 2012. Vol.9, № 1. - P. 41-49.
23. Э. Камке. Справочник по обыкновенным дифференциальным уравнениям. - М.: Наука, 1971. - 576 с.
24. К.В. Шалимова. *Физика полупроводников*. - М.: Энергоатомиздат. 1985. - 392 с.



**НЕКОТОРЫЕ МОДЕЛИ ФИЗИЧЕСКИХ ПРОЦЕССОВ  
С РАСПРЕДЕЛЕННЫМИ ПАРАМЕТРАМИ**

Автор:  
**Евгений Леонидович Панкратов**

*Учебно-методическое пособие*

Федеральное государственное бюджетное образовательное учреждение высшего профессионального образования «Нижегородский государственный университет им. Н.И. Лобачевского».

603950, Нижний Новгород, пр. Гагарина, 23.